

準地衡2層モデルにおける 準地衡乱流の波数空間動力学 に関する研究

岡崎 正悟

神戸大学理学研究科惑星学専攻
流体地球物理学教育研究分野 修士2回生

2017年2月9日(木) 修士論文審査会

@神戸大学百年記念会館 六甲ホール

1. はじめに
2. 数値モデルについて
3. 数値計算の結果
4. まとめ

1. はじめに

2. 数値モデルについて

3. 数値計算の結果

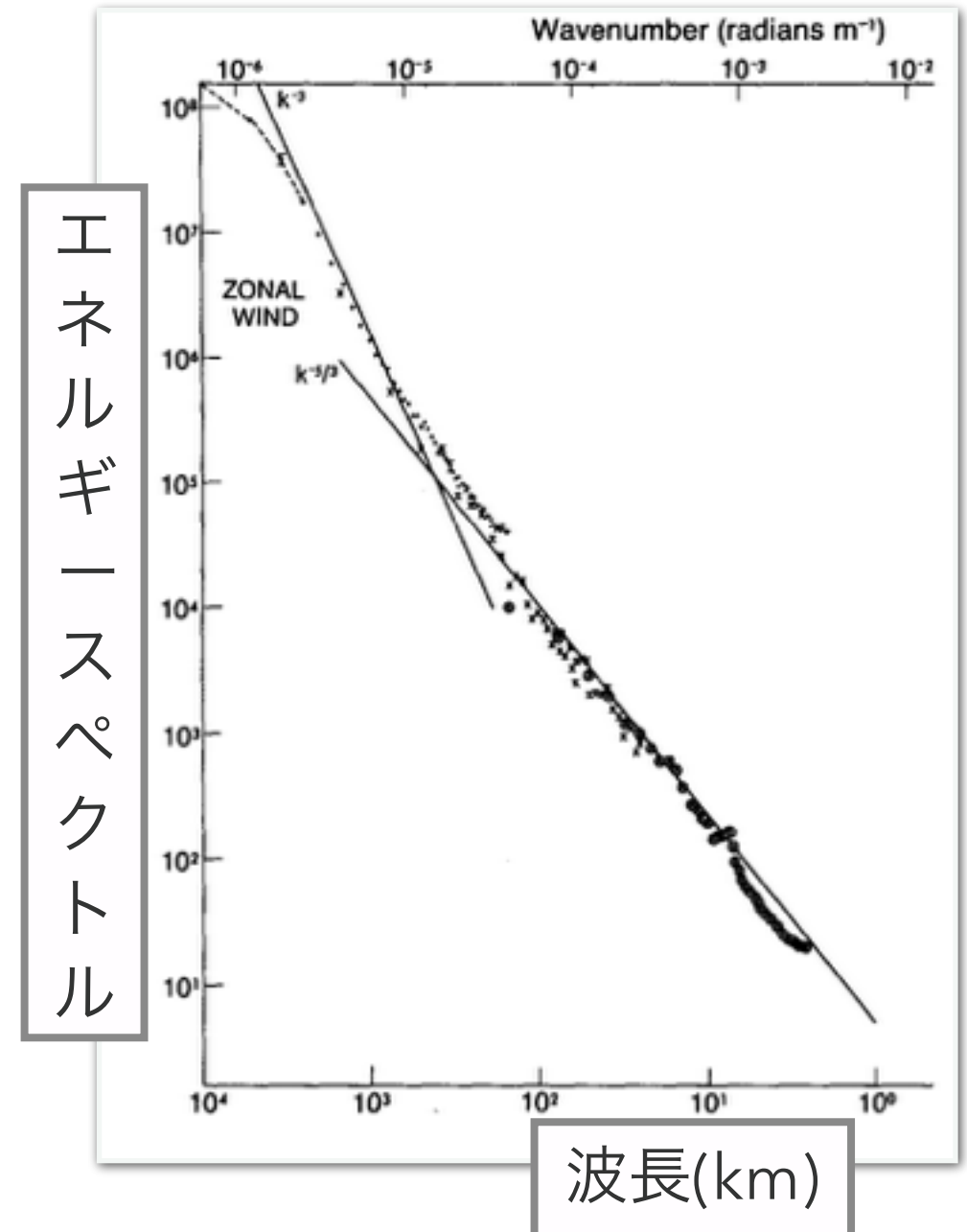
4. まとめ

地球大気のスペクトル解析

- ▶ 大気中には様々なスケールの渦が存在する
 - スペクトル解析によって、どのスケールが支配的かを見る



気象衛星ひまわり8号による地球の画像



Nastrom and Gage (1985) Fig.3. を加工

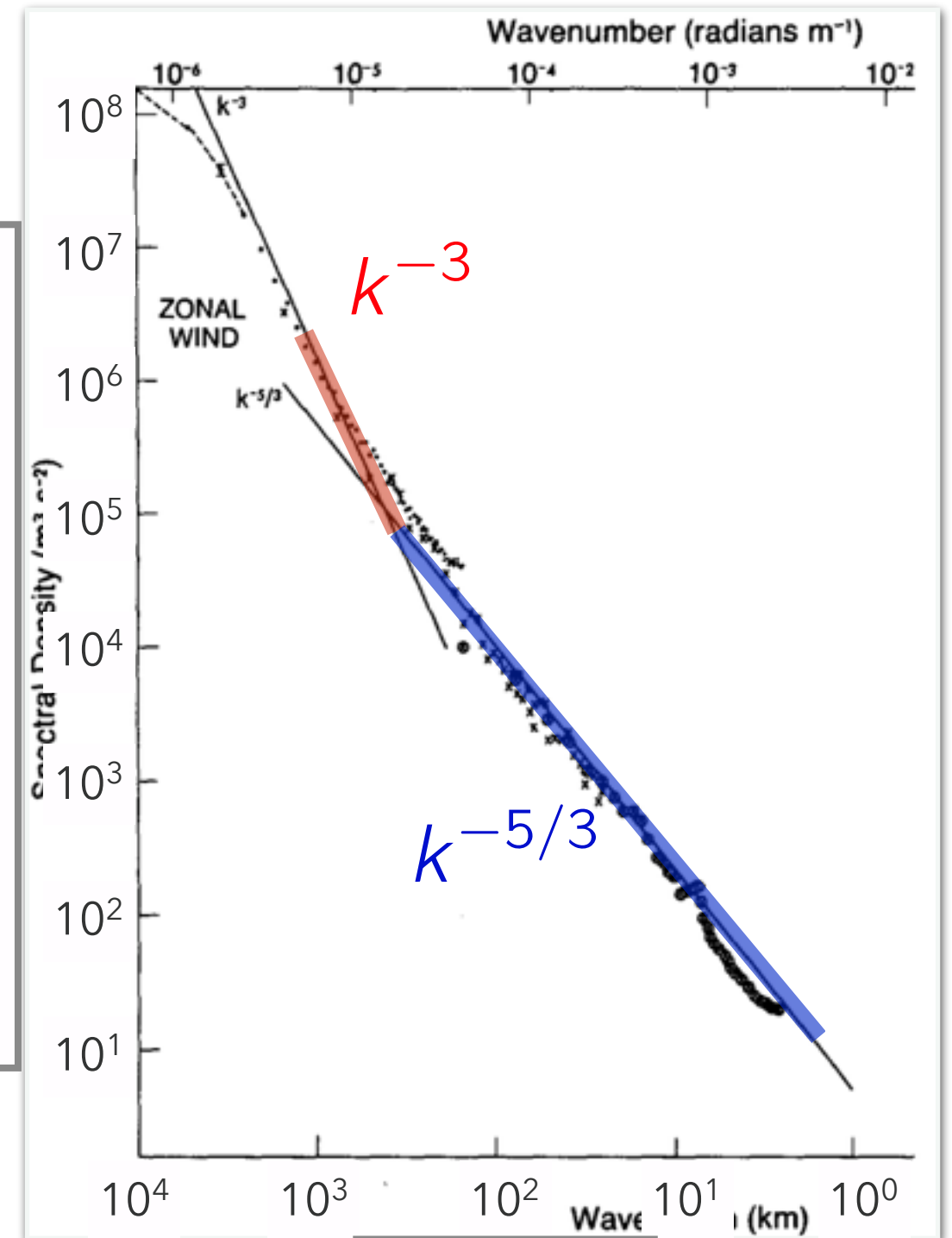
地球大気の観測事実から

▶ 航空機観測で得られた風速と気温のデータのスペクトル解析

(Nastrom and Gage 1985)

- エネルギースペクトルが k^{-3} の依存性と $k^{-5/3}$ の依存性を持つ
- このスペクトルは, 客観解析データや大気大循環モデルでも確認されており, よく知られたものである.
- 本発表では, このスペクトルを **Nastrom-Gage スペクトル** と呼ぶ.

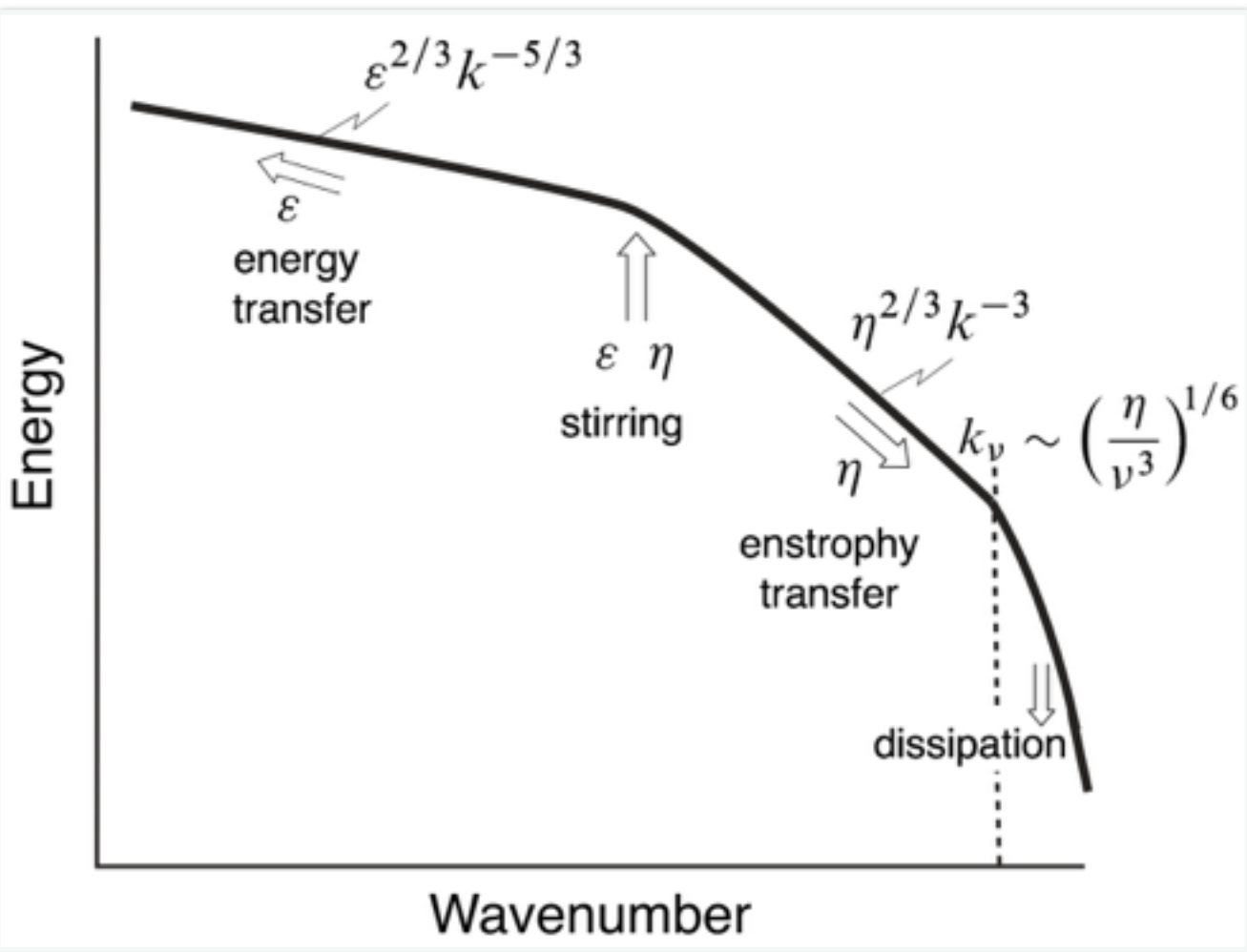
エネルギー
スペクトル



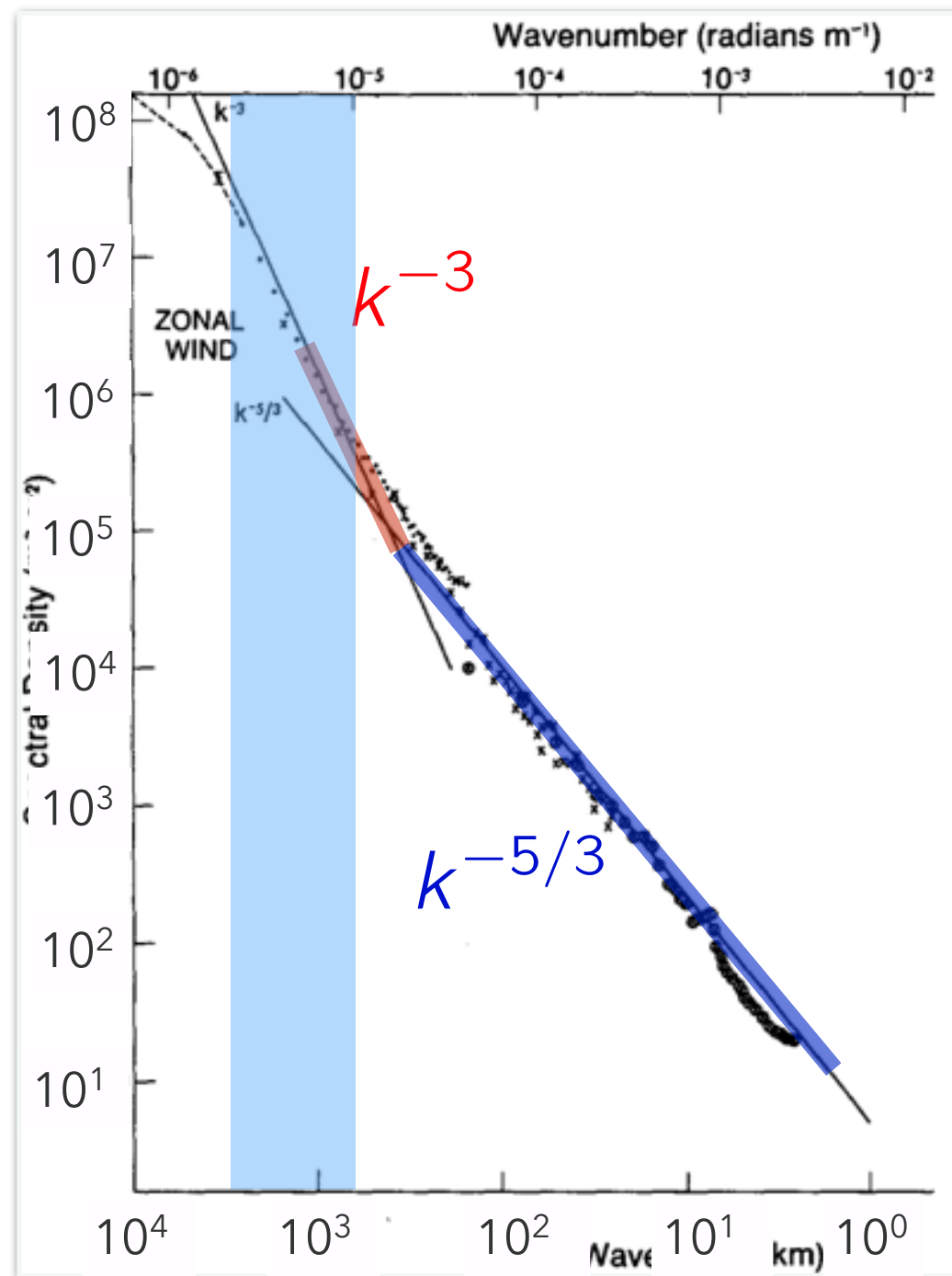
波長(km)

Nastrom and Gage (1985) Fig.3. を加工

Nastrom-Gage スペクトルの不思議



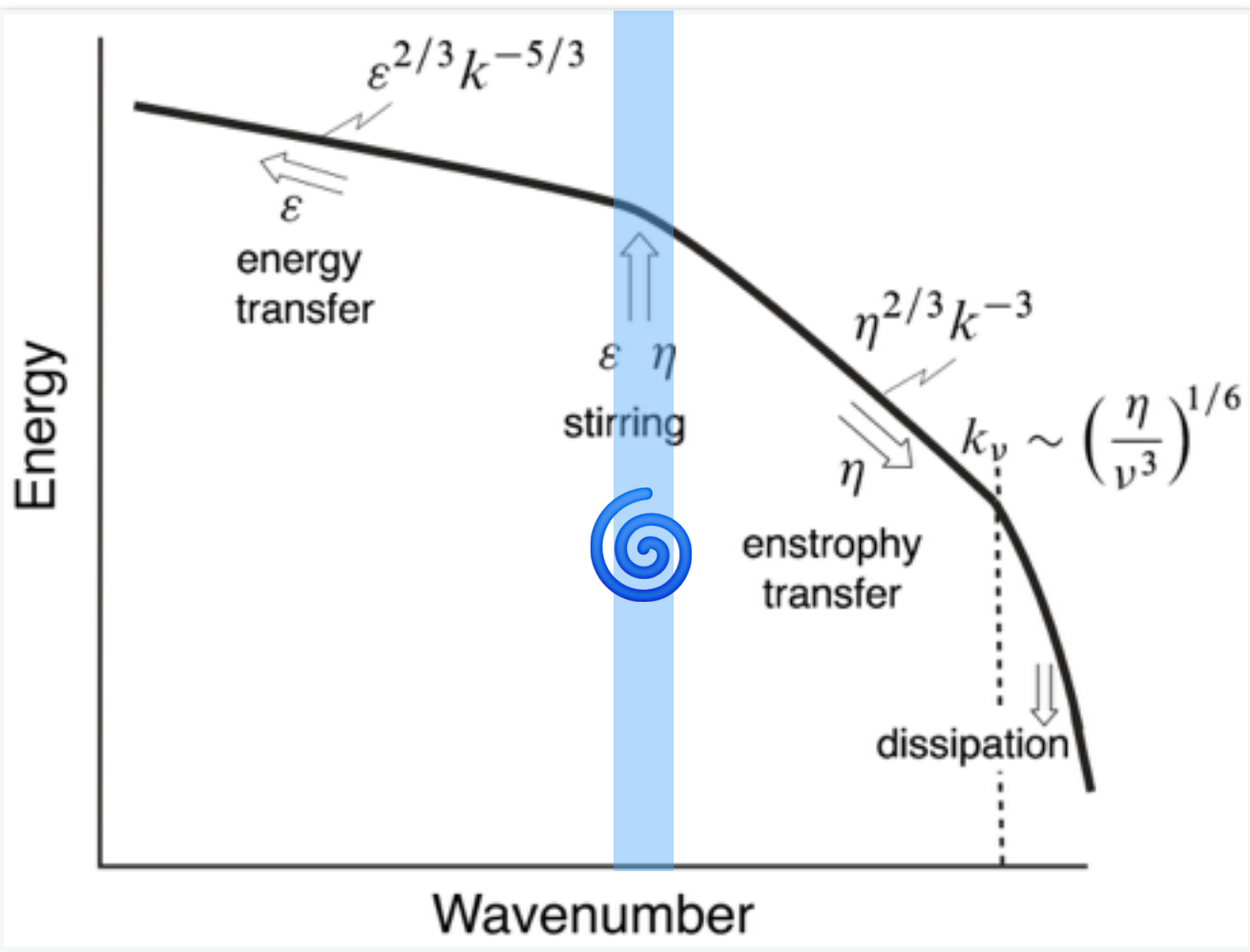
2次元一様等方性乱流の
エネルギー・スペクトルの概念図[Vallis (2006)]



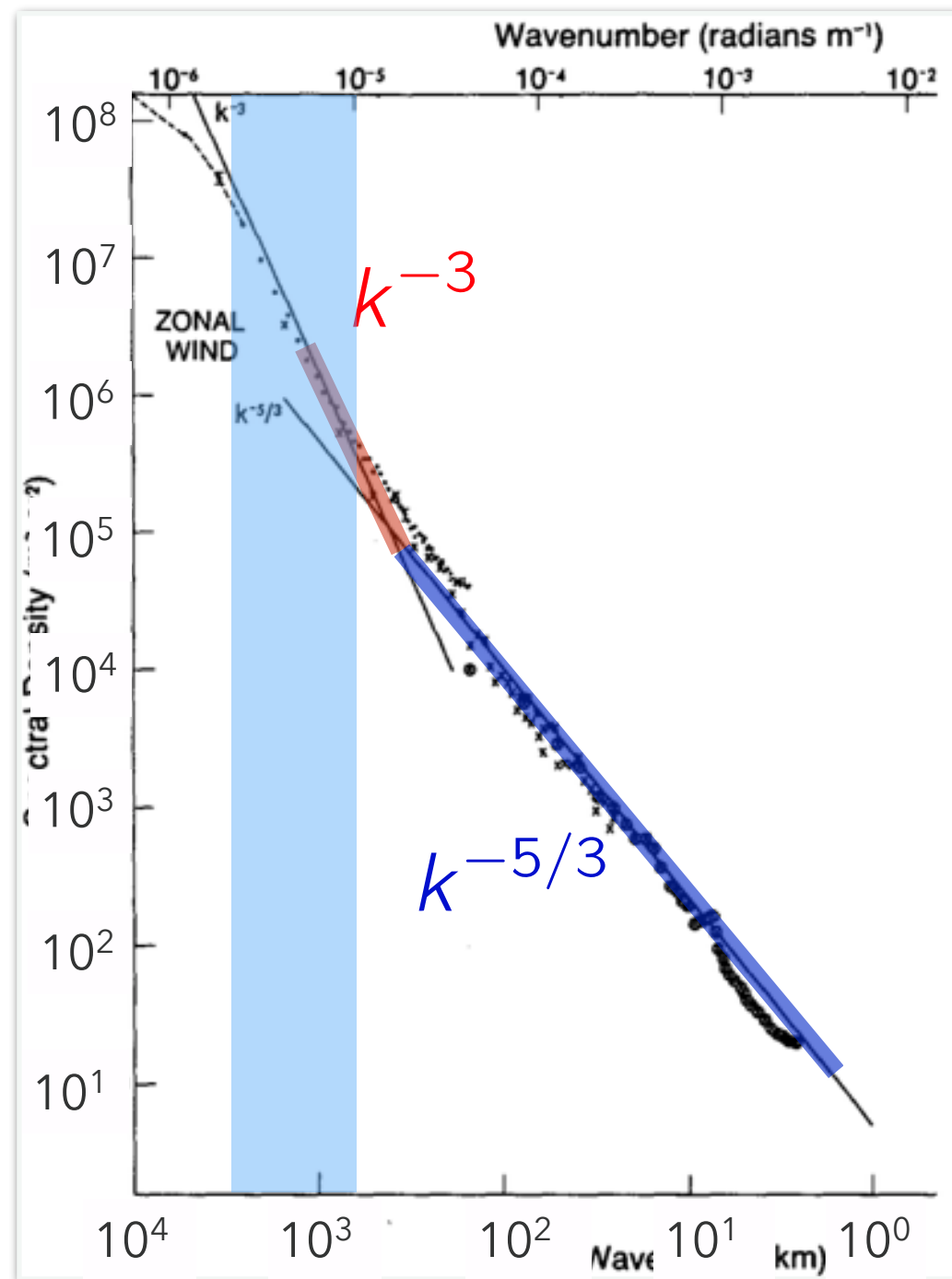
Nastrom-Gage スペクトル

Nastrom-Gage スペクトルの不思議

エネルギー注入波数



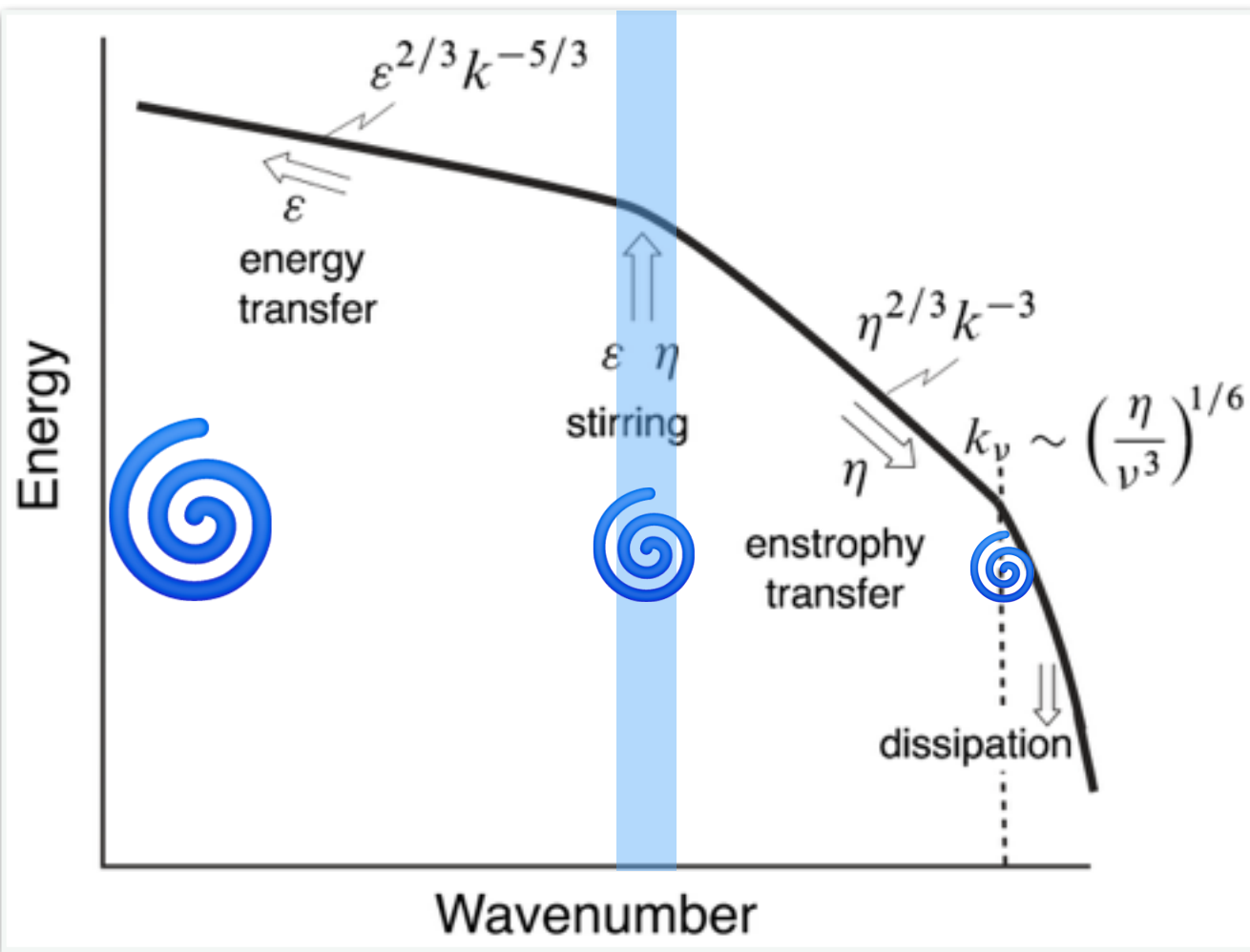
2次元一様等方性乱流の
エネルギースペクトルの概念図[Vallis (2006)]



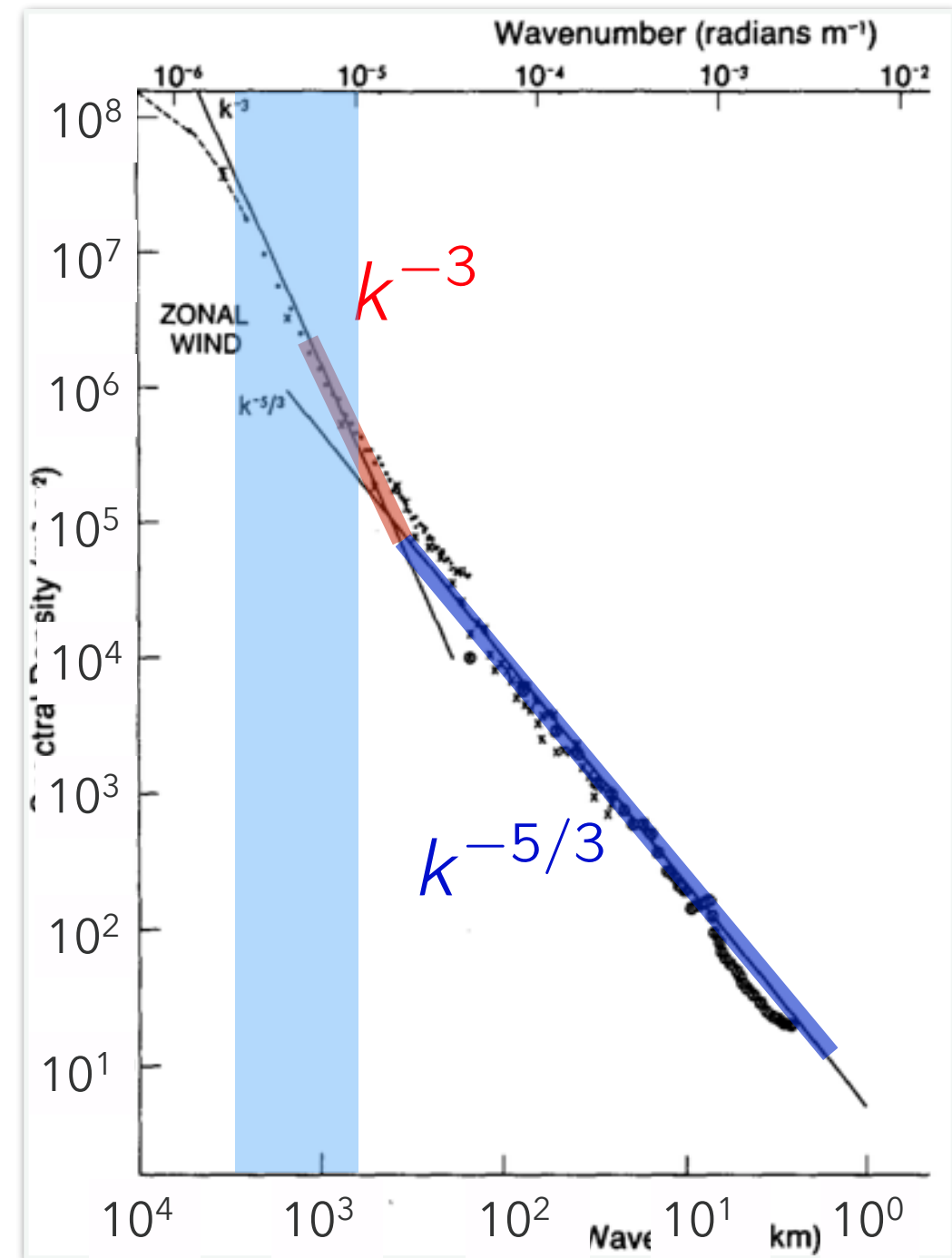
Nastrom-Gage スペクトル

Nastrom-Gage スペクトルの不思議

エネルギー注入波数



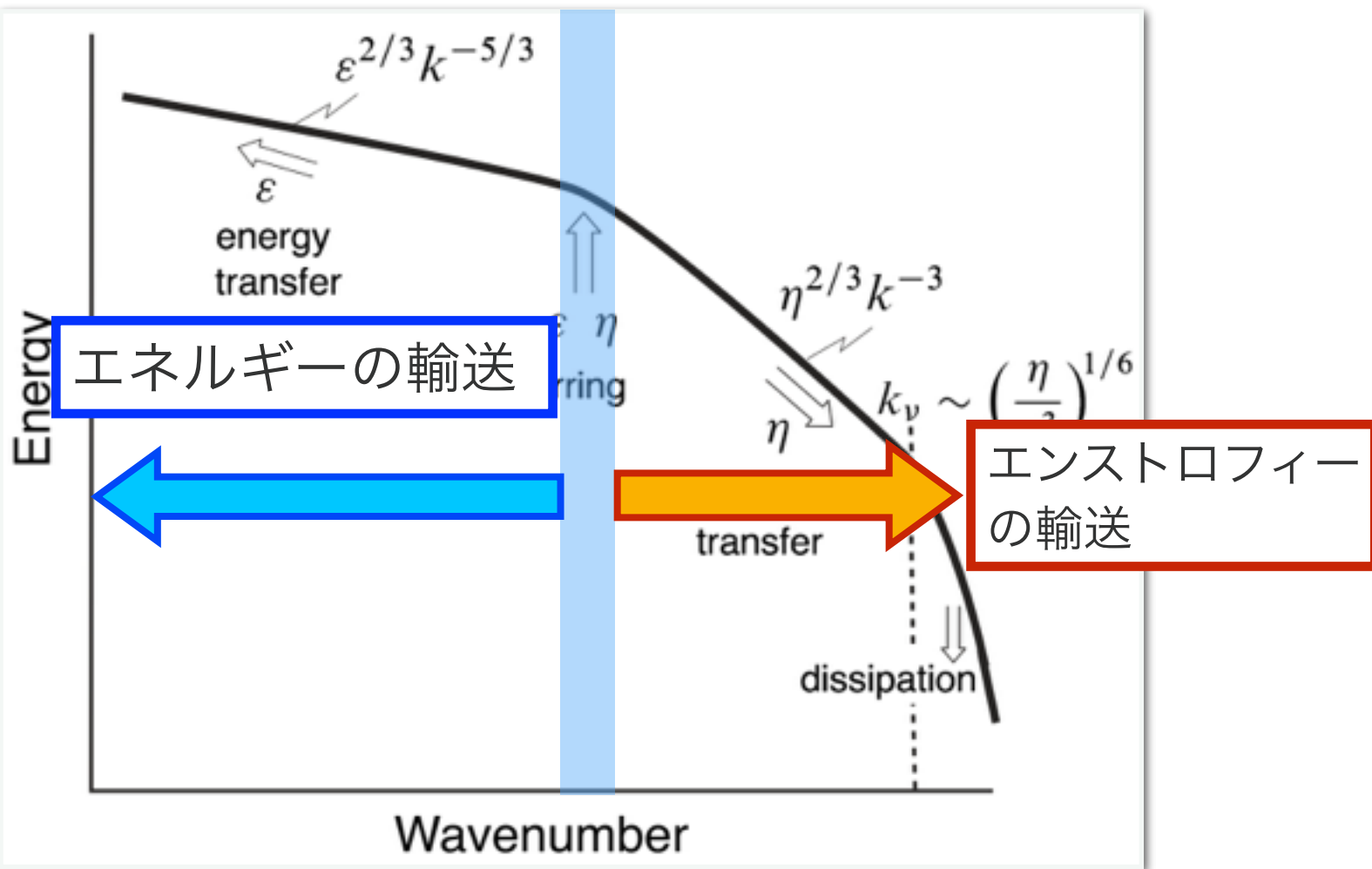
2次元一様等方性乱流の
エネルギースペクトルの概念図[Vallis (2006)]



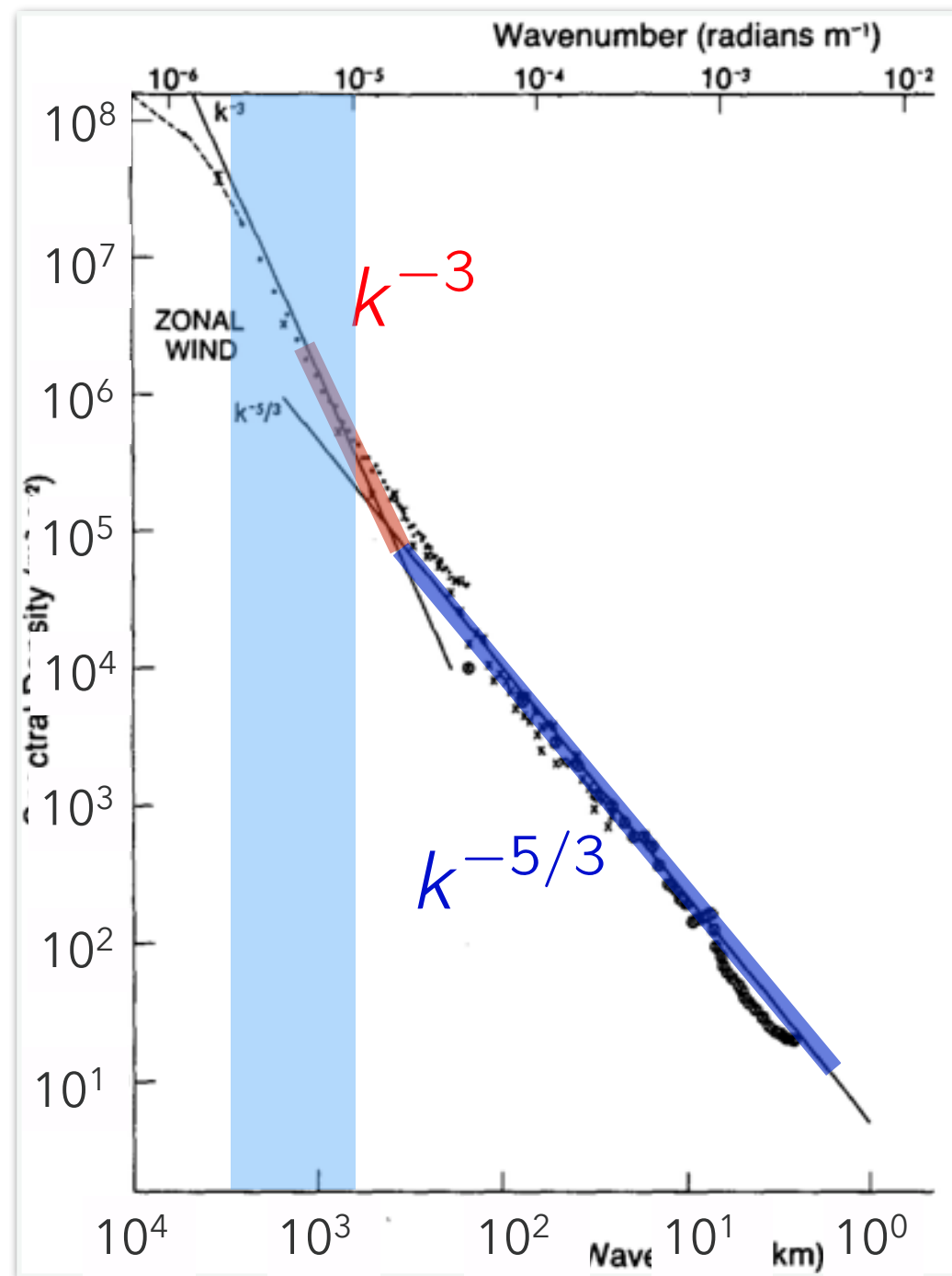
Nastrom-Gage スペクトル

Nastrom-Gage スペクトルの不思議

エネルギー注入波数



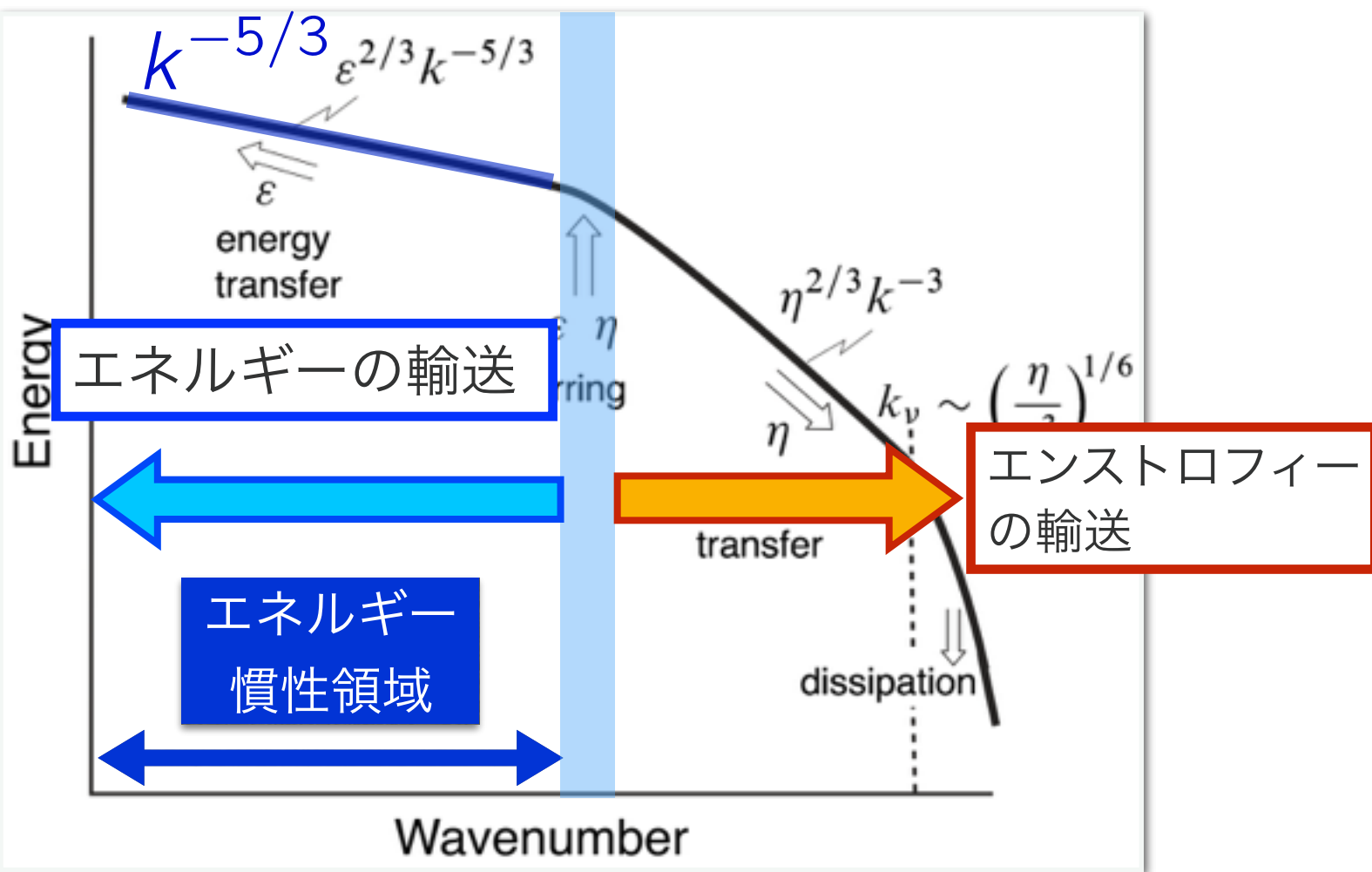
2次元一様等方性乱流の
エネルギースペクトルの概念図[Vallis (2006)]



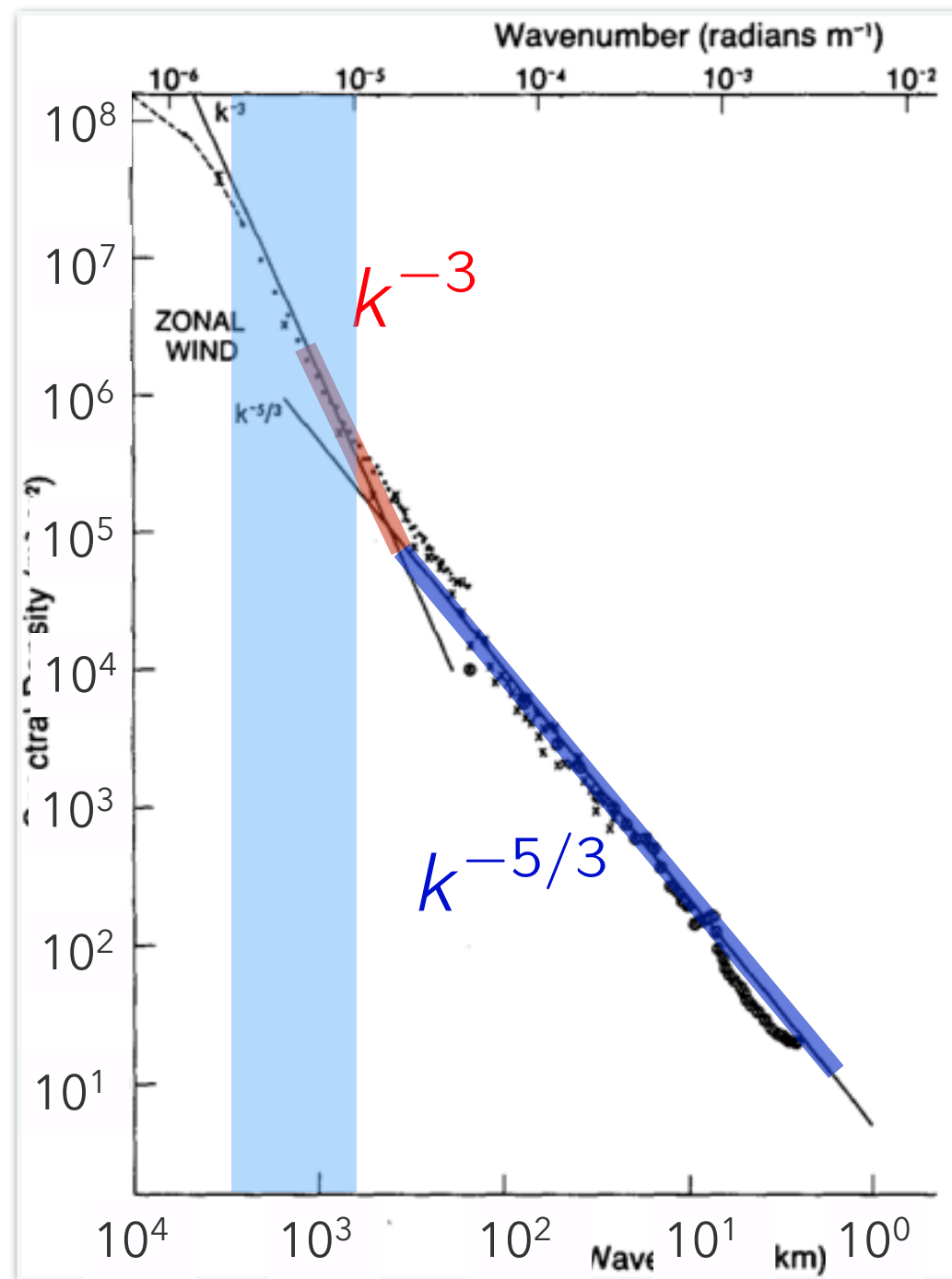
Nastrom-Gage スペクトル

Nastrom-Gage スペクトルの不思議

エネルギー注入波数



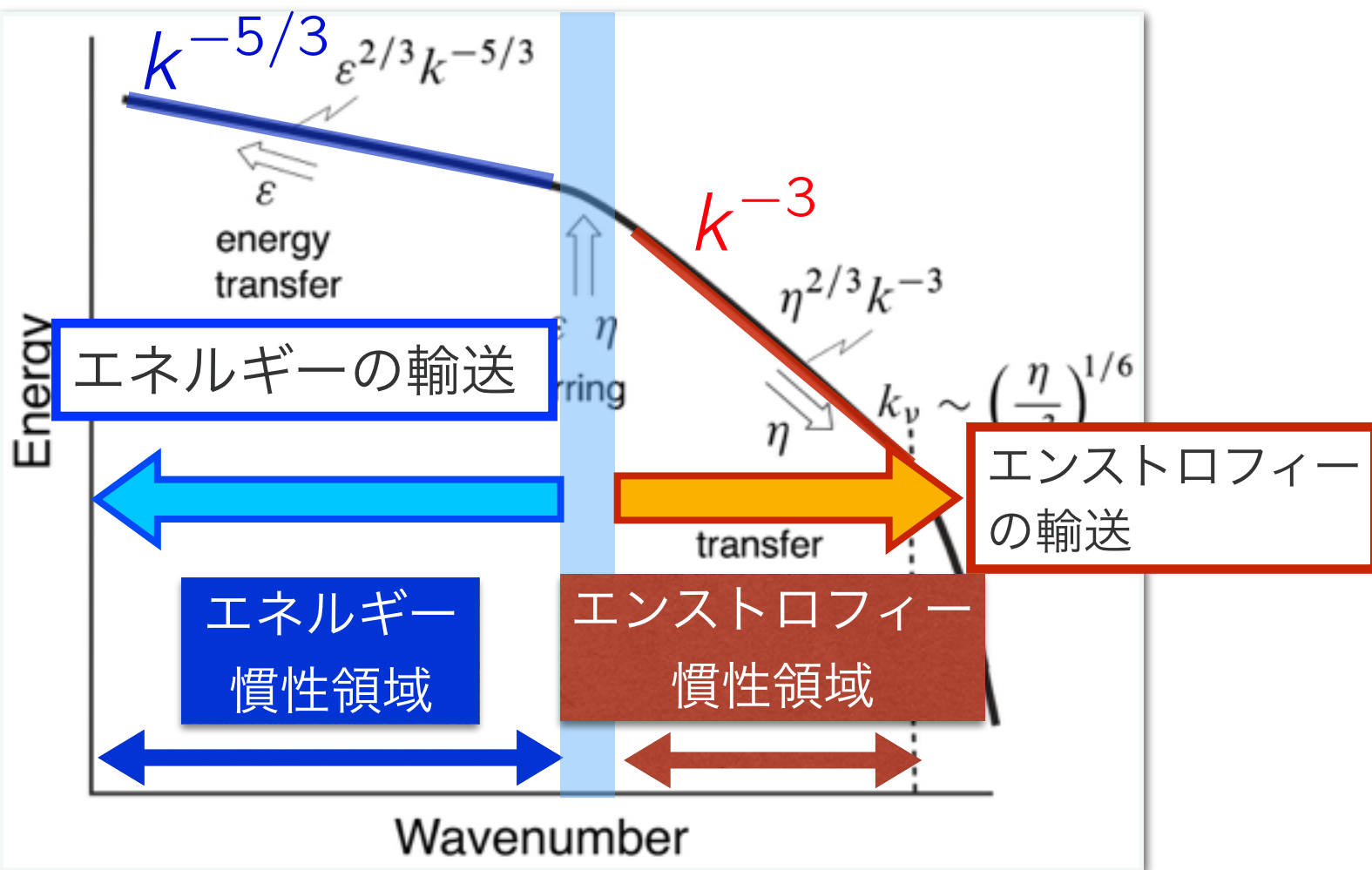
2次元一様等方性乱流の
エネルギー Spektrums の概念図[Vallis (2006)]



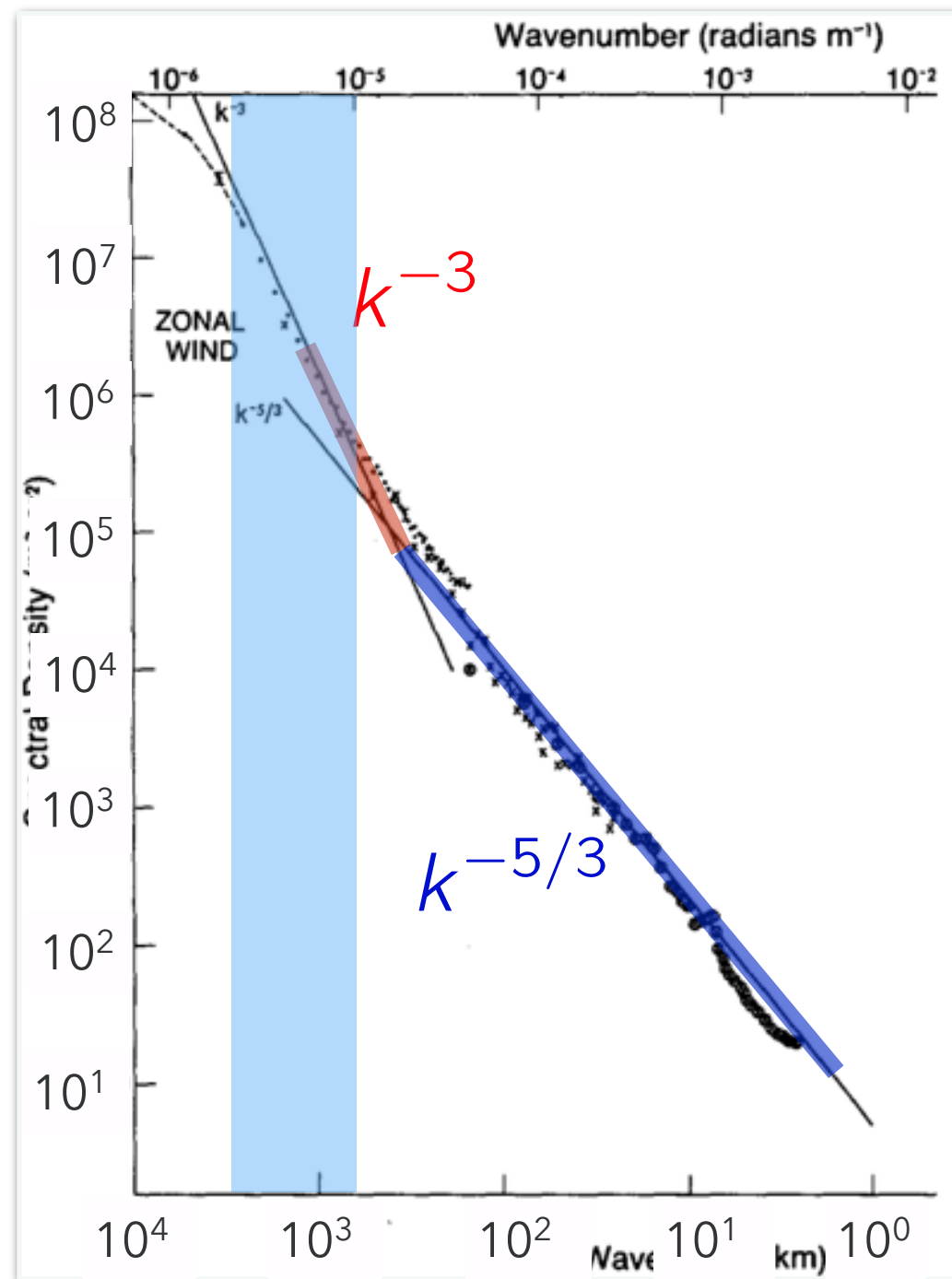
Nastrom-Gage スペクトル

Nastrom-Gage スペクトルの不思議

エネルギー注入波数



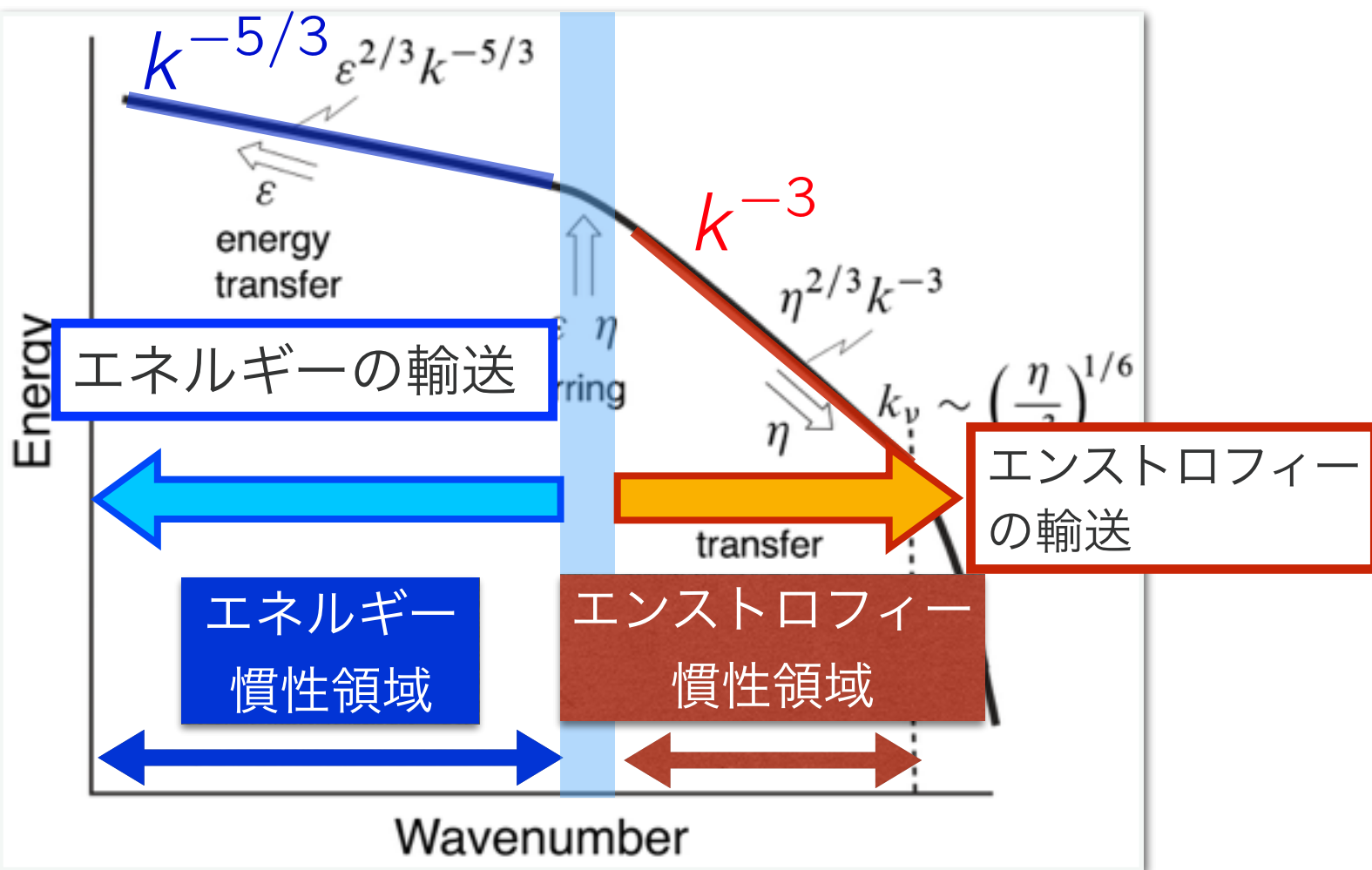
2次元一様等方性乱流の
エネルギースペクトルの概念図[Vallis (2006)]



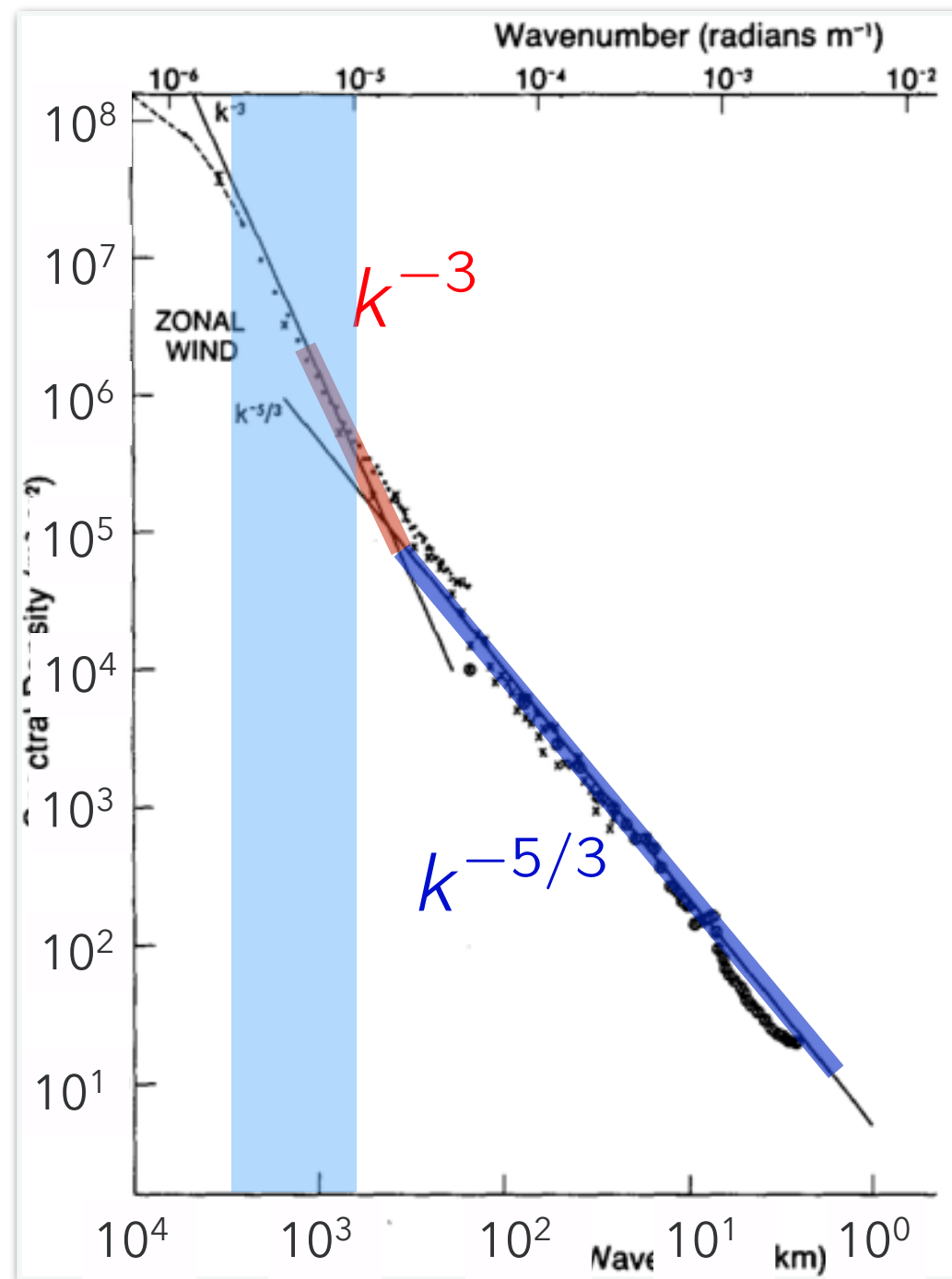
Nastrom-Gage スペクトル

Nastrom-Gage スペクトルの不思議

エネルギー注入波数



2次元一様等方性乱流の
エネルギー Spektral の概念図[Vallis (2006)]

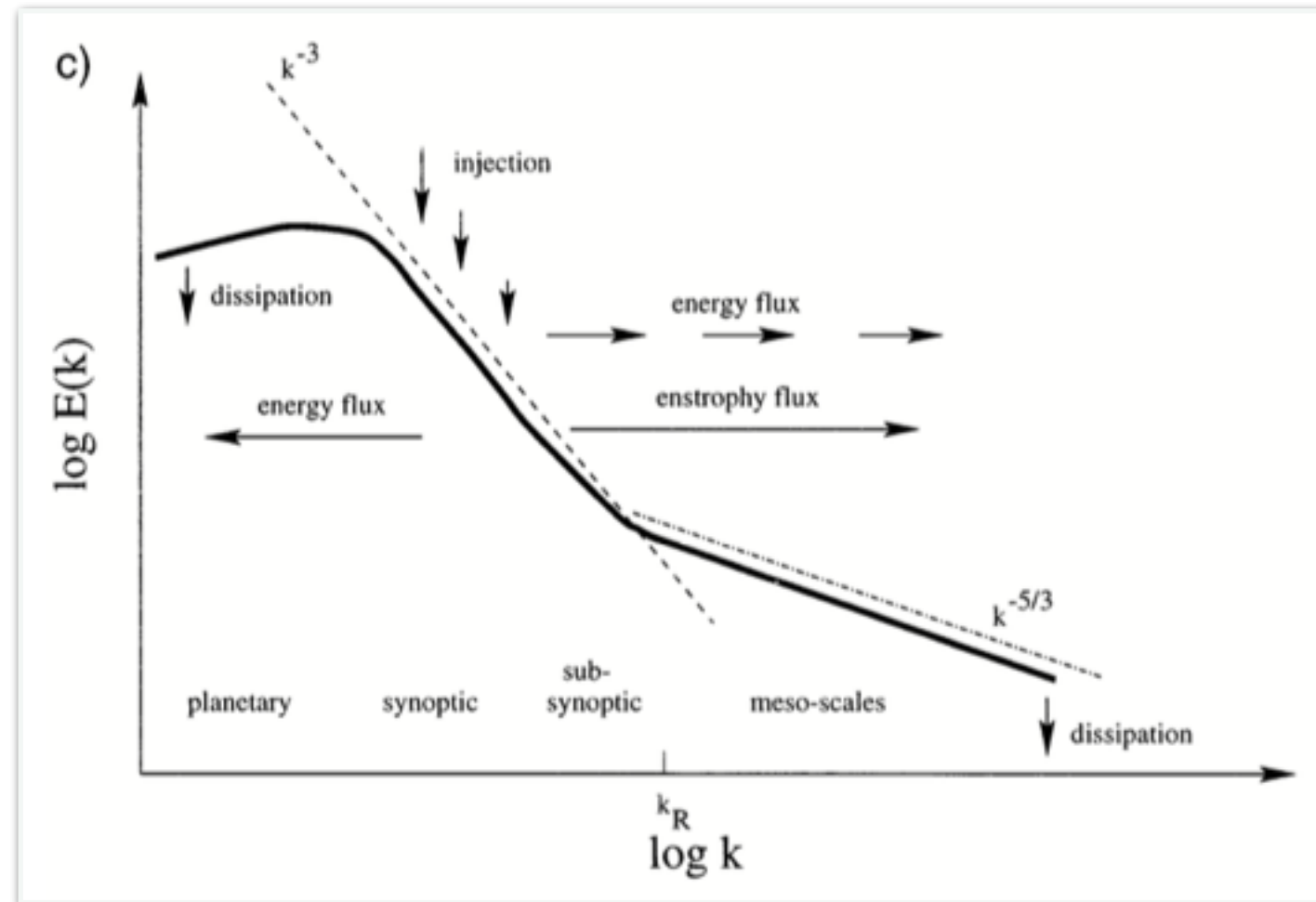


Nastrom-Gage スペクトル

エネルギー注入波数よりも高波数側にある $k^{-5/3}$ の成因が不明

準地衡 2 層モデルによる再現

- ▶ 準地衡 2 層モデルで Nastrom-Gage スペクトルを再現 (Tung and Orland 2003)
 - 「高波数側への『隠れたエネルギーカスケード』によって、 $k^{-5/3}$ のスペクトルが形成される」というメカニズムを提唱

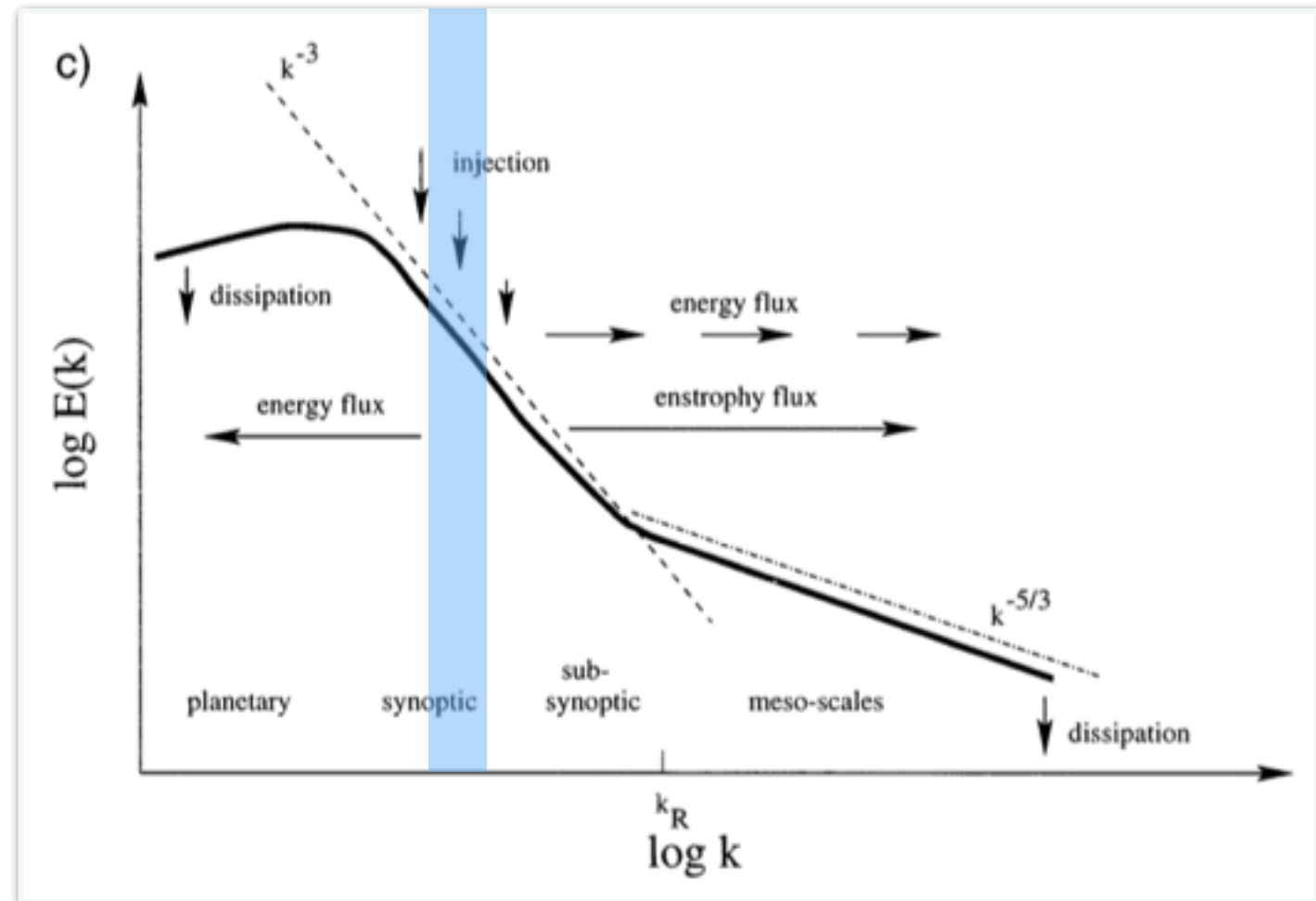


Tung and Orland (2003) Fig.2(c).

準地衡 2 層モデルによる再現

- ▶ 準地衡 2 層モデルで Nastrom-Gage スペクトルを再現 (Tung and Orland 2003)
 - 「高波数側への『隠れたエネルギーカスケード』によって、 $k^{-5/3}$ のスペクトルが形成される」というメカニズムを提唱

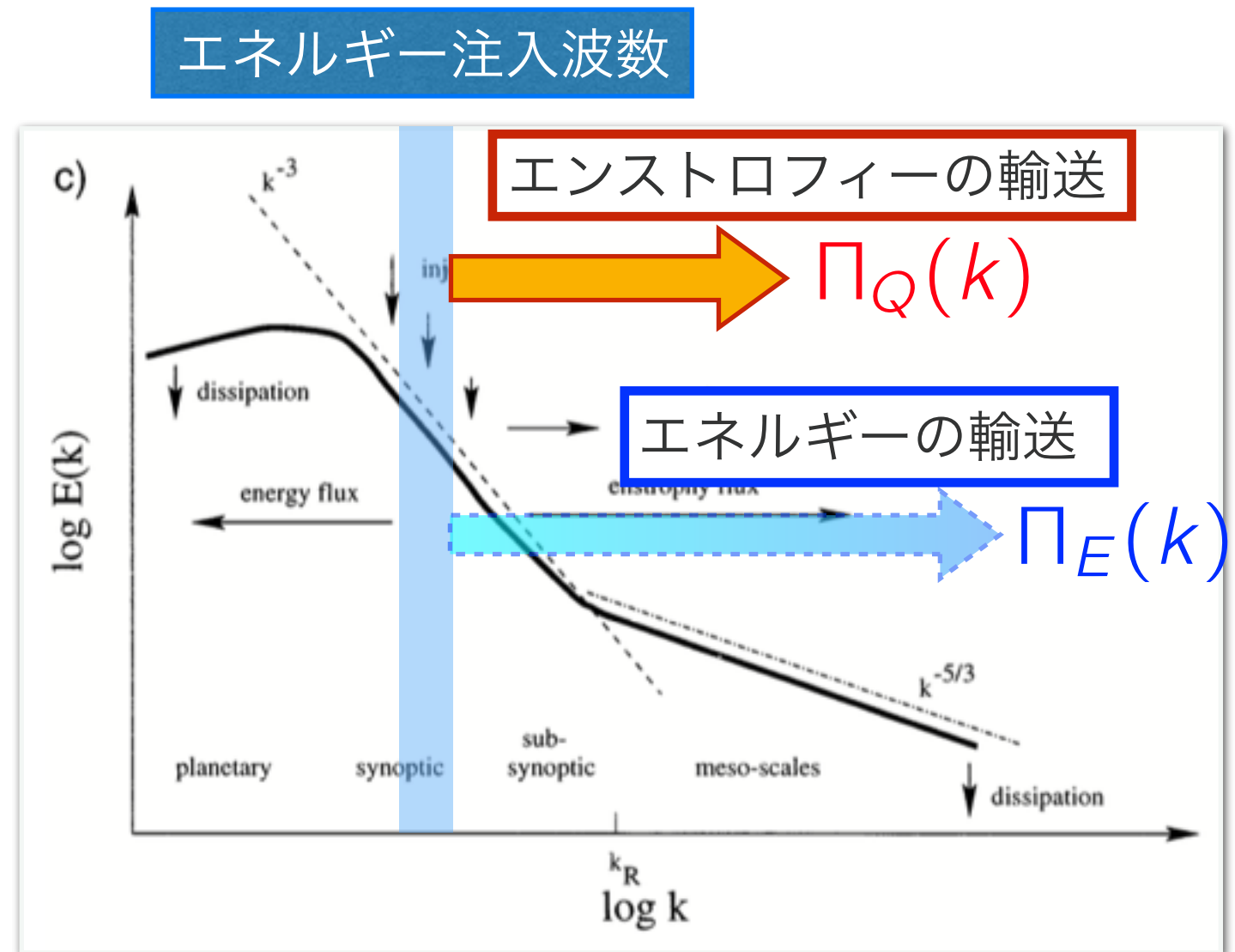
エネルギー注入波数



Tung and Orland (2003) Fig.2(c).

準地衡 2 層モデルによる再現

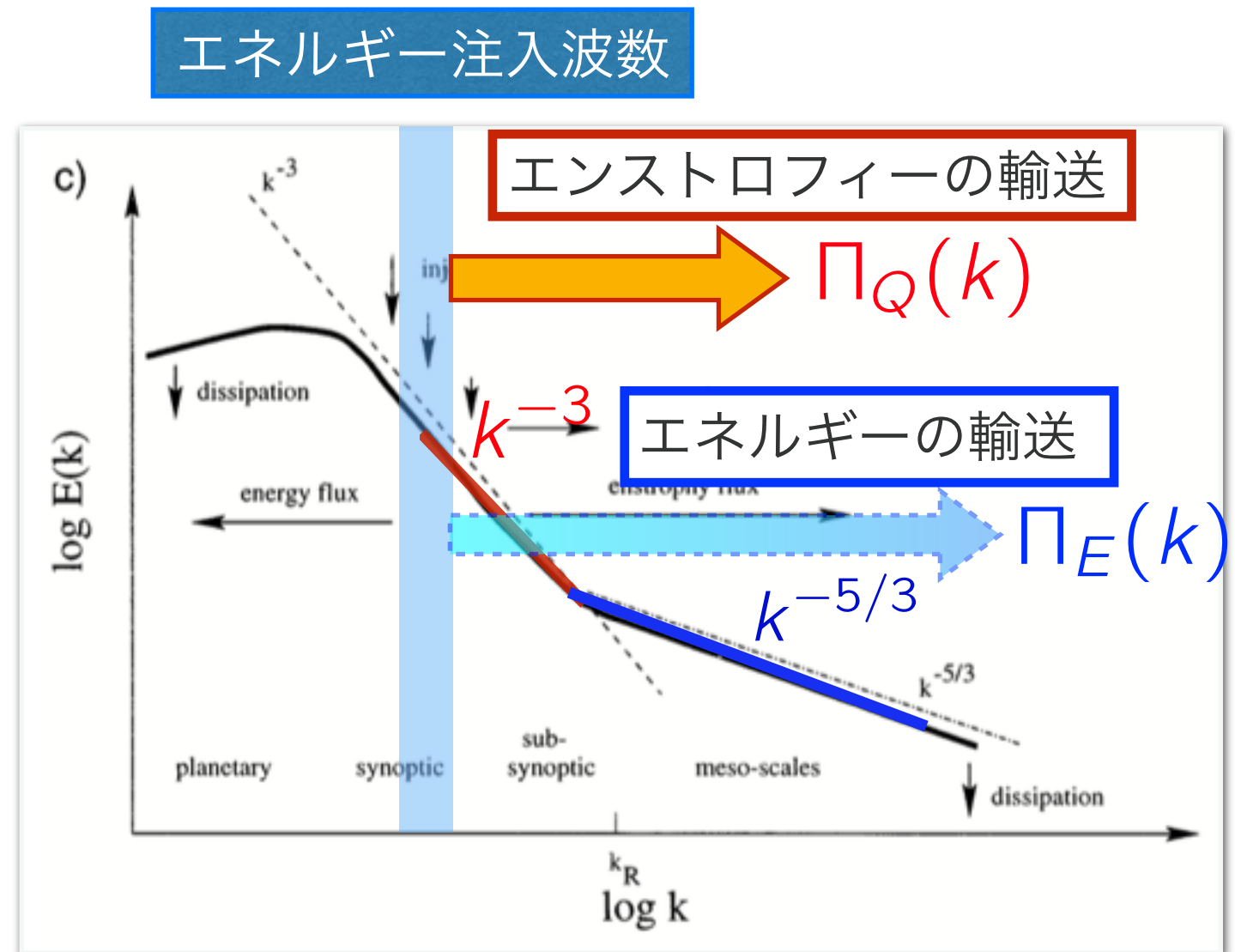
- ▶ 準地衡 2 層モデルで Nastrom-Gage スペクトルを再現 (Tung and Orland 2003)
 - 「高波数側への『隠れたエネルギーカスケード』によって、 $k^{-5/3}$ のスペクトルが形成される」というメカニズムを提唱



Tung and Orland (2003) Fig.2(c).

準地衡 2 層モデルによる再現

- ▶ 準地衡 2 層モデルで Nastrom-Gage スペクトルを再現 (Tung and Orland 2003)
 - 「高波数側への『隠れたエネルギーカスケード』によって、 $k^{-5/3}$ のスペクトルが形成される」というメカニズムを提唱



Tung and Orland (2003) Fig.2(c).

Tung and Orland (2003) の主張

- ▶ 準地衡2層モデルにおいて, エネルギー注入波数よりも高波数側の慣性領域で, エネルギーフラックス $\Pi_E(k)$ と エンストロフィーフラックス $\Pi_Q(k)$ に対して,

$$k^2 \Pi_E(k) - \Pi_Q(k) > 0$$

となる波数帯域があり, そこで $k^{-5/3}$ のスペクトルが形成される, と主張.

- つまり, 「エネルギー輸送がエンストロフィー輸送を卓越する波数帯域」の存在を主張
- 数学的には, その成立の可能性が示唆されているのみ

本研究の目的

- ▶ Tung and Orland (2003) によって提唱された Nastrom-Gage スペクトルの形成メカニズムが成立するかを確認する
 - 準地衡 2 層モデルを用いた数値シミュレーションにより, Nastrom-Gage スペクトルが再現できるかを確かめる
 - $k^2 \Pi_E(k) - \Pi_Q(k)$ の符号を調べる

1. はじめに

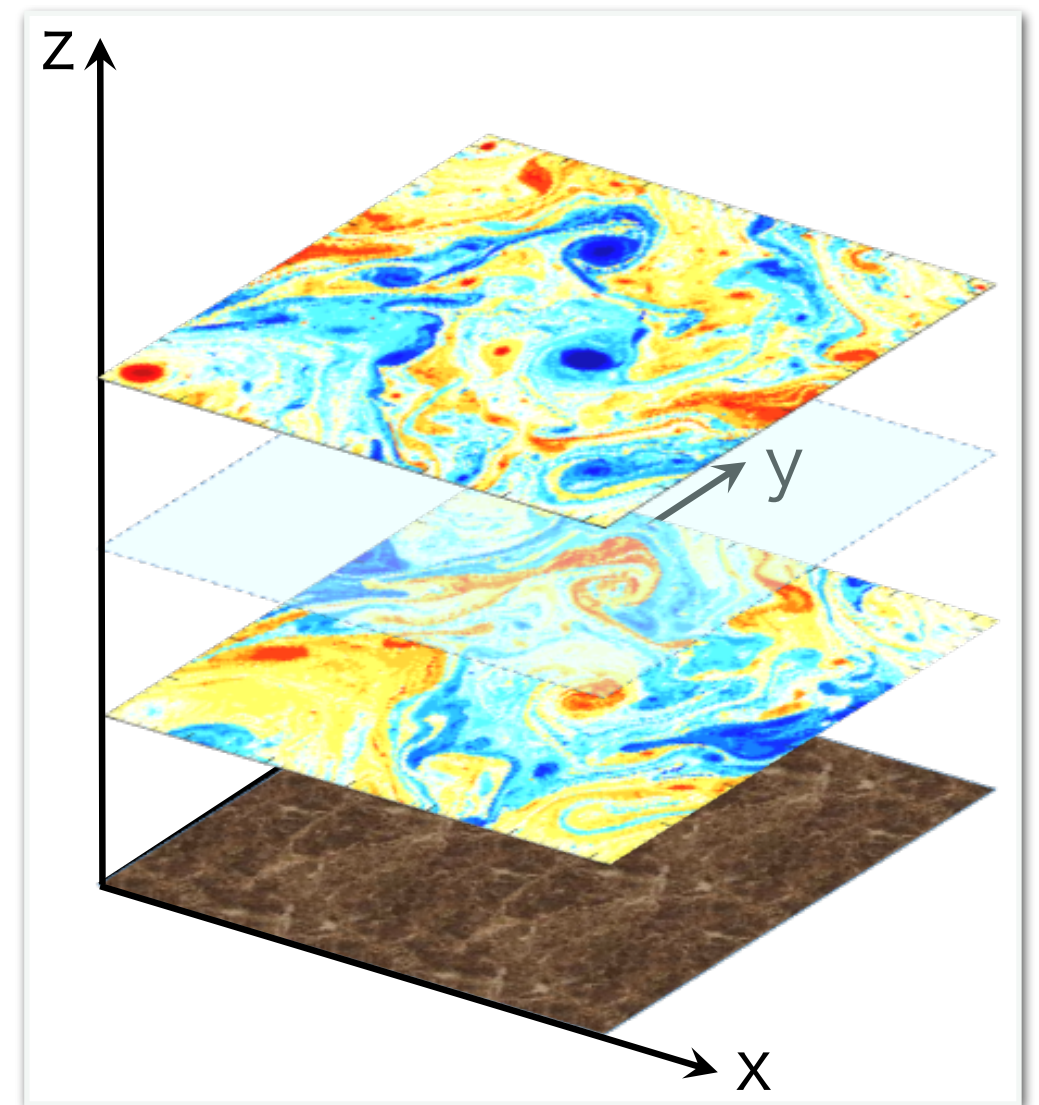
2. 数値モデルについて

3. 数値計算の結果

4. まとめ

系の設定

- ▶ Larichev and Held (1995) に基づく, 準地衡 2 層モデル
 - f 平面上のブシネスク流体
 - 鉛直方向に静水圧平衡を仮定
 - 境界条件... 水平方向は周期的, 上下に固体壁が存在
 - 鉛直シアーをもつ水平面内で一様な東西平均流を与えることで系を強制
 - 超粘性とエクマンダンピングによって系の外にエネルギーを散逸する



支配方程式

▶ 2層モデルにおける準地衡渦位方程式を変形し, 強制と散逸の項を加えた式

$$\begin{aligned} \frac{\partial \nabla^2 \psi}{\partial t} + J(\psi, \nabla^2 \psi) + J(\tau, \nabla^2 \tau) + U \frac{\partial \nabla^2 \tau}{\partial x} \\ = -\kappa \nabla^2 \frac{\psi - \tau}{2} - \nu \nabla^8 (\nabla^2 \psi) - \frac{1}{2} \Delta \nu \nabla^8 \{ \nabla^2 \psi - (\nabla^2 - k_d^2) \tau \} \end{aligned}$$

$$\begin{aligned} \frac{\partial (\nabla^2 \tau - k_d^2 \tau)}{\partial t} + J(\psi, \nabla^2 \tau - k_d^2 \tau) + J(\tau, \nabla^2 \psi) + U \frac{\partial \nabla^2 \psi}{\partial x} + k_d^2 U \frac{\partial \psi}{\partial x} \\ = -\kappa \nabla^2 \frac{\tau - \psi}{2} - \nu \nabla^8 (\nabla^2 \tau - k_d^2 \tau) - \frac{1}{2} \Delta \nu \nabla^8 \{ (\nabla^2 - k_d^2) \tau - \nabla^2 \psi \} \end{aligned}$$

ψ ... 順圧モードの流線関数	k_d^{-1} ... 変形半径	κ ... エクマンダンピング係数
τ ... 傾圧モードの流線関数	U ... 東西平均流の速さ	ν ... 上層の粘性係数
	$J(*, *)$... ヤコビアン	$\Delta \nu$... 上層と下層の粘性係数の差

支配方程式

▶ 2層モデルにおける準地衡渦位方程式を変形し, 強制と散逸の項を加えた式

順圧モード(=上層と下層の運動の平均を表す)の式

$$\begin{aligned} \frac{\partial \nabla^2 \psi}{\partial t} + J(\psi, \nabla^2 \psi) + J(\tau, \nabla^2 \tau) + U \frac{\partial \nabla^2 \tau}{\partial x} \\ = -\kappa \nabla^2 \frac{\psi - \tau}{2} - \nu \nabla^8 (\nabla^2 \psi) - \frac{1}{2} \Delta \nu \nabla^8 \{ \nabla^2 \psi - (\nabla^2 - k_d^2) \tau \} \end{aligned}$$

傾圧モード(=上層と下層の相対運動を表す)の式

$$\begin{aligned} \frac{\partial (\nabla^2 \tau - k_d^2 \tau)}{\partial t} + J(\psi, \nabla^2 \tau - k_d^2 \tau) + J(\tau, \nabla^2 \psi) + U \frac{\partial \nabla^2 \psi}{\partial x} + k_d^2 U \frac{\partial \psi}{\partial x} \\ = -\kappa \nabla^2 \frac{\tau - \psi}{2} - \nu \nabla^8 (\nabla^2 \tau - k_d^2 \tau) - \frac{1}{2} \Delta \nu \nabla^8 \{ (\nabla^2 - k_d^2) \tau - \nabla^2 \psi \} \end{aligned}$$

ψ ... 順圧モードの流線関数

k_d^{-1} ... 変形半径

κ ... エクマンダンピング係数

τ ... 傾圧モードの流線関数

U ... 東西平均流の速さ

ν ... 上層の粘性係数

$J(*, *)$... ヤコビアン

$\Delta \nu$... 上層と下層の粘性係数の差

計算方法・初期値

- ▶ 空間離散法は, スペクトル法
- ▶ 時間積分法は, 4 次のルンゲ・クッタ法
- ▶ 低解像度 (256^2) の計算からスピニアップを行なって, より高解像度 (512^2 , 1024^2) の計算を行う
- ▶ 統計的平衡状態に達したと思われる時刻で計算を止め, 最後の時刻を 初期値としてより高解像度の計算を行う
 - 解析には, 1024^2 の計算結果を利用
- ▶ 初期値は, 順圧・傾圧モードのエネルギー・スペクトルを全波数で 6.0×10^{-8} とした
- ▶ パラメータは以下の通り
 - $k_d = 1.0 \times 10^1$
 - $U = 2.5 \times 10^{-2}$
 - $\kappa = 4.0 \times 10^{-2}$
 - 粘性係数 ν は解像度によって変える
 - 256^2 のとき: $\nu = 1.350 \times 10^{-14}$
 - 512^2 のとき: $\nu = 5.280 \times 10^{-17}$
 - 1024^2 のとき: $\nu = 2.017 \times 10^{-19}$

1. はじめに

2. 数値モデルについて

3. 数値計算の結果

4. まとめ

計算設定

上下層で同じ粘性係数を与えた場合

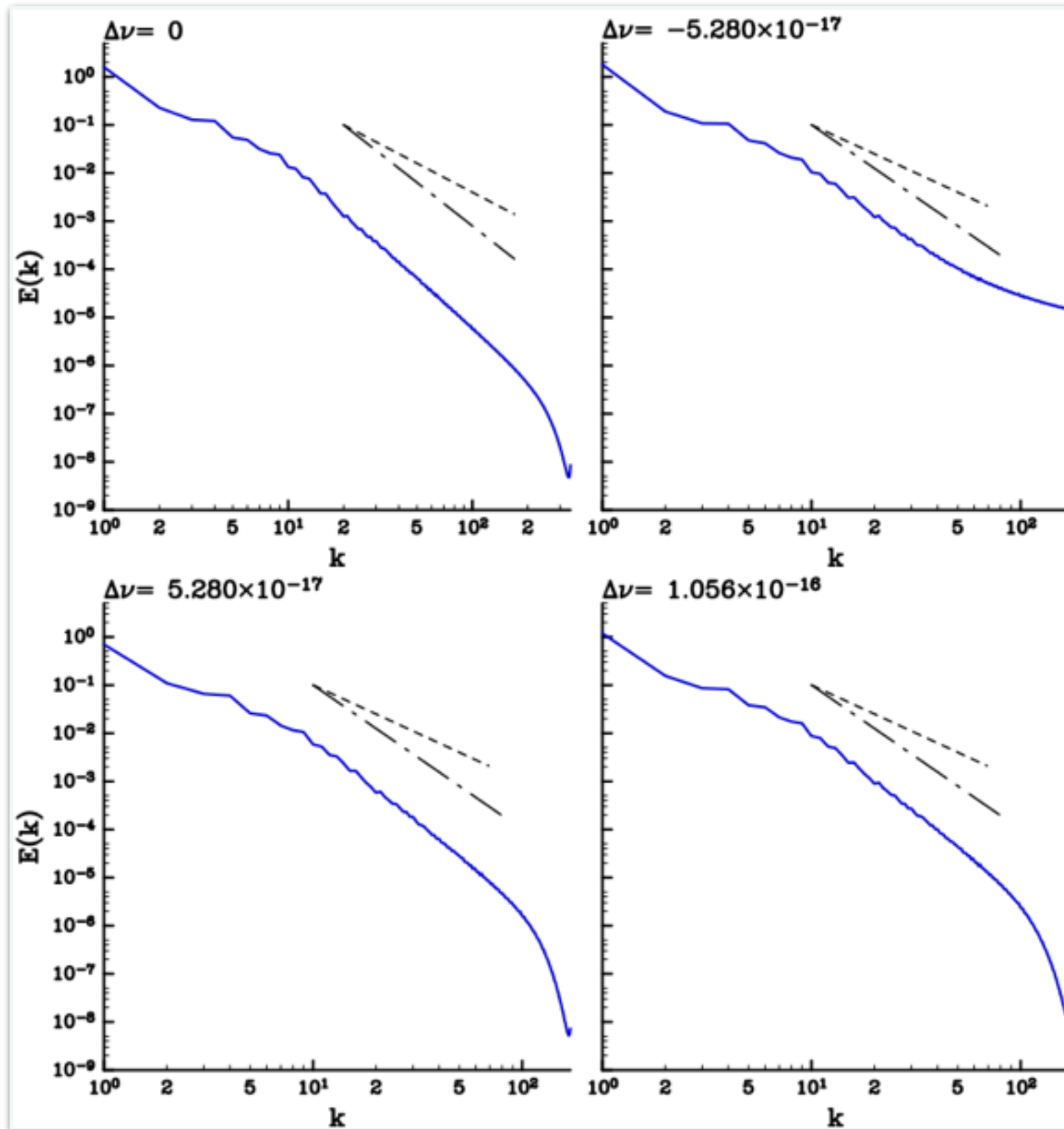
下層の粘性係数がゼロの場合

下層の粘性係数が上層よりも大きい場合

	case1	case2	case3	case4
$\Delta\nu$ の値	0	-5.280×10^{-17}	5.280×10^{-17}	1.056×10^{-16}
解像度	1024^2		512^2	
切断波数	341		170	
解析時間	$t \in [1800, 2000]$		$t \in [1300, 1500]$	

エネルギースペクトルの比較

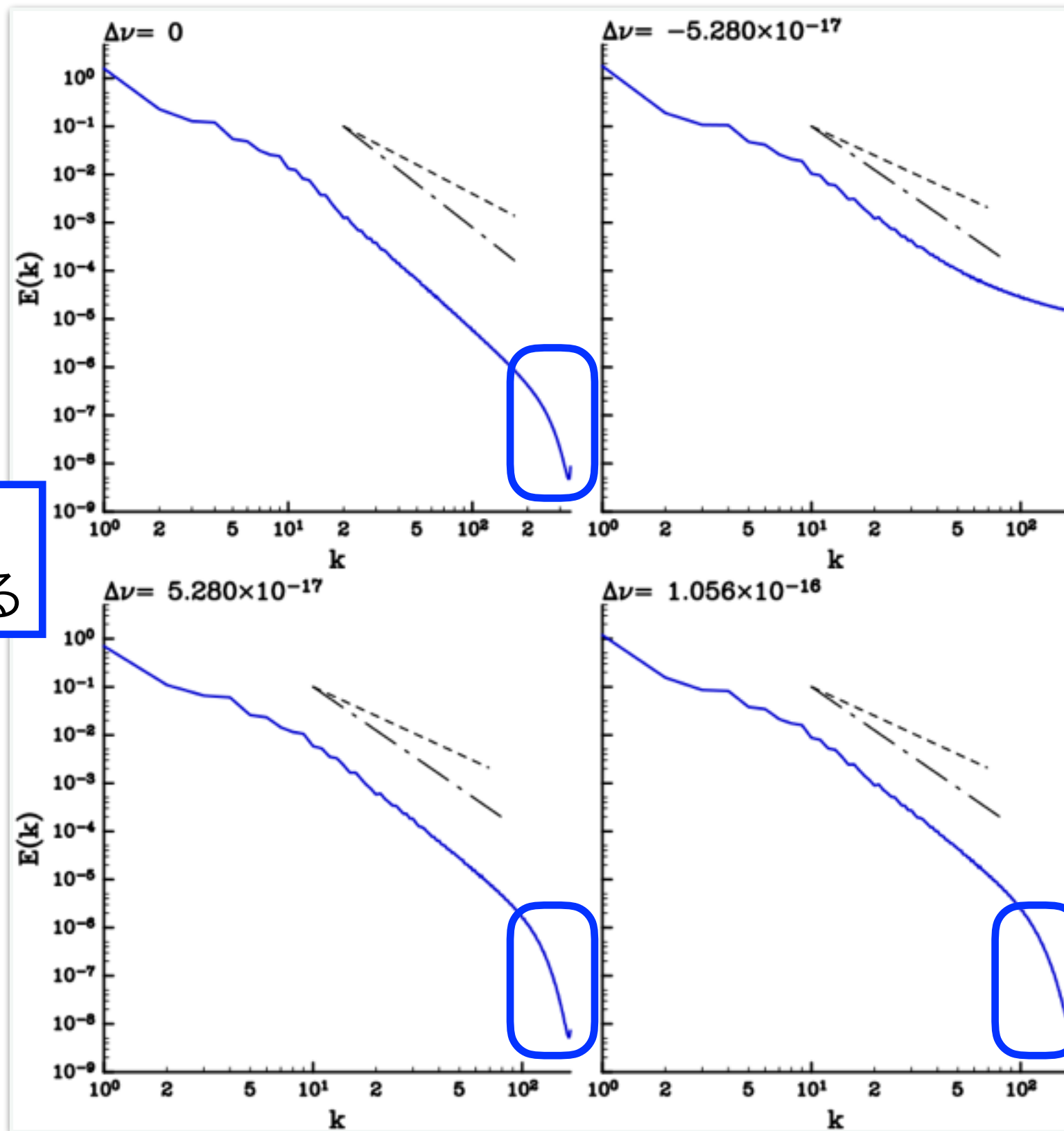
横軸: 波数,
縦軸: エネルギースペクトル
点線は k^{-3} の傾き,
一点鎖線は $k^{-5/3}$ の傾きを表す。



エネルギースペクトルの比較

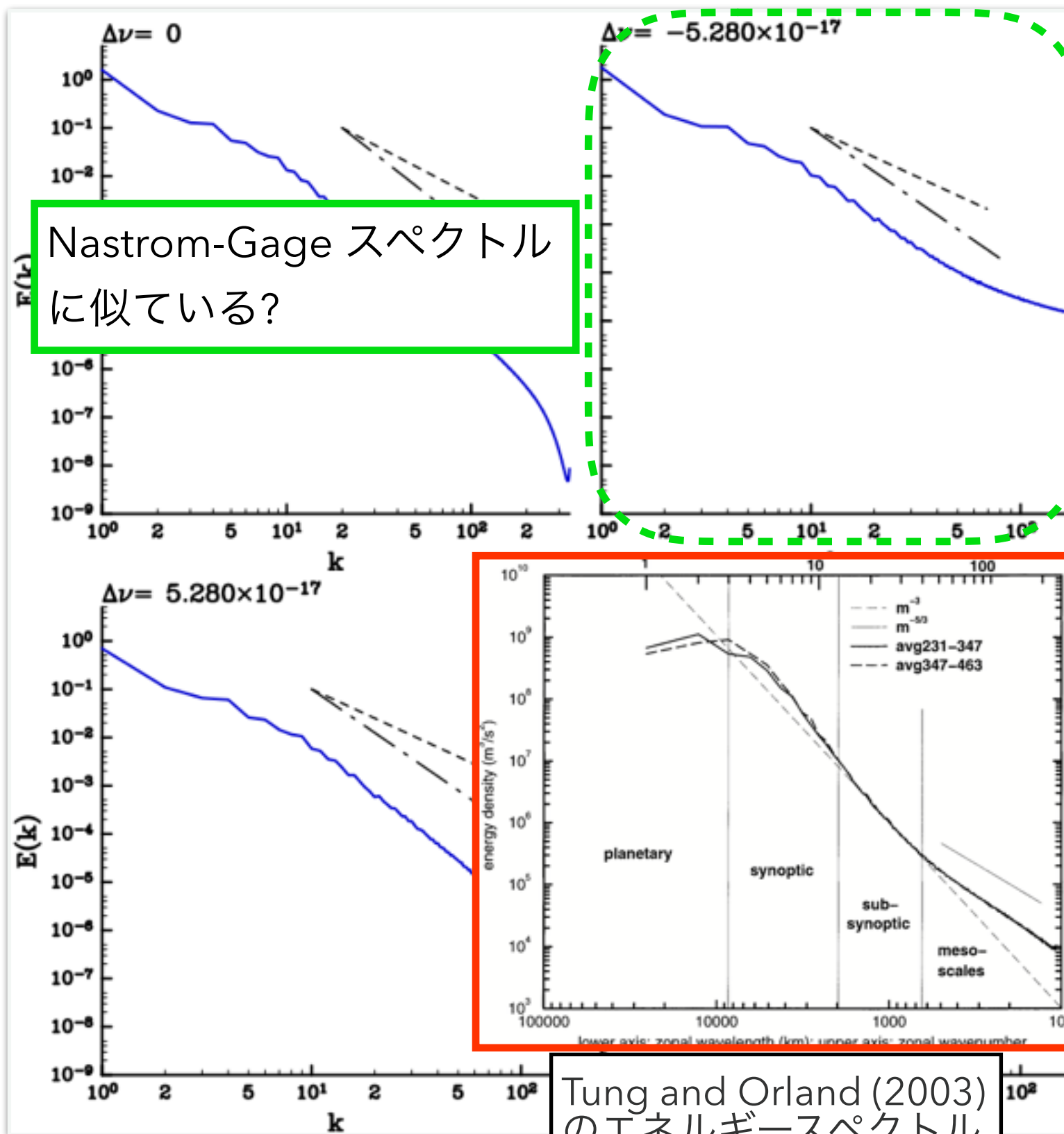
横軸: 波数,
縦軸: エネルギースペクトル
点線は k^{-3} の傾き,
一点鎖線は $k^{-5/3}$ の傾きを表す。

散逸波数が
解像できている



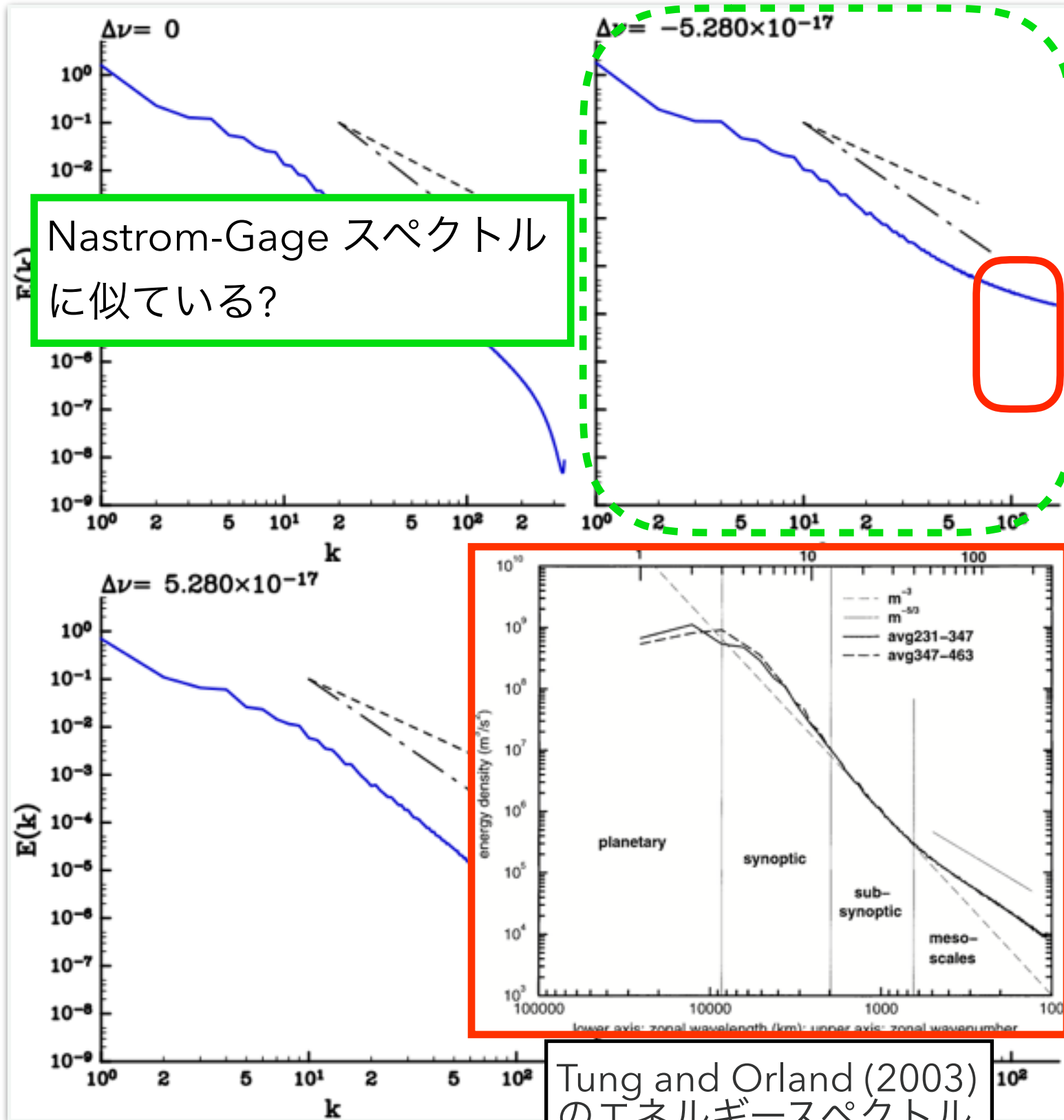
エネルギースペクトルの比較

横軸: 波数,
縦軸: エネルギースペクトル
点線は k^{-3} の傾き,
一点鎖線は $k^{-5/3}$ の傾きを表す。



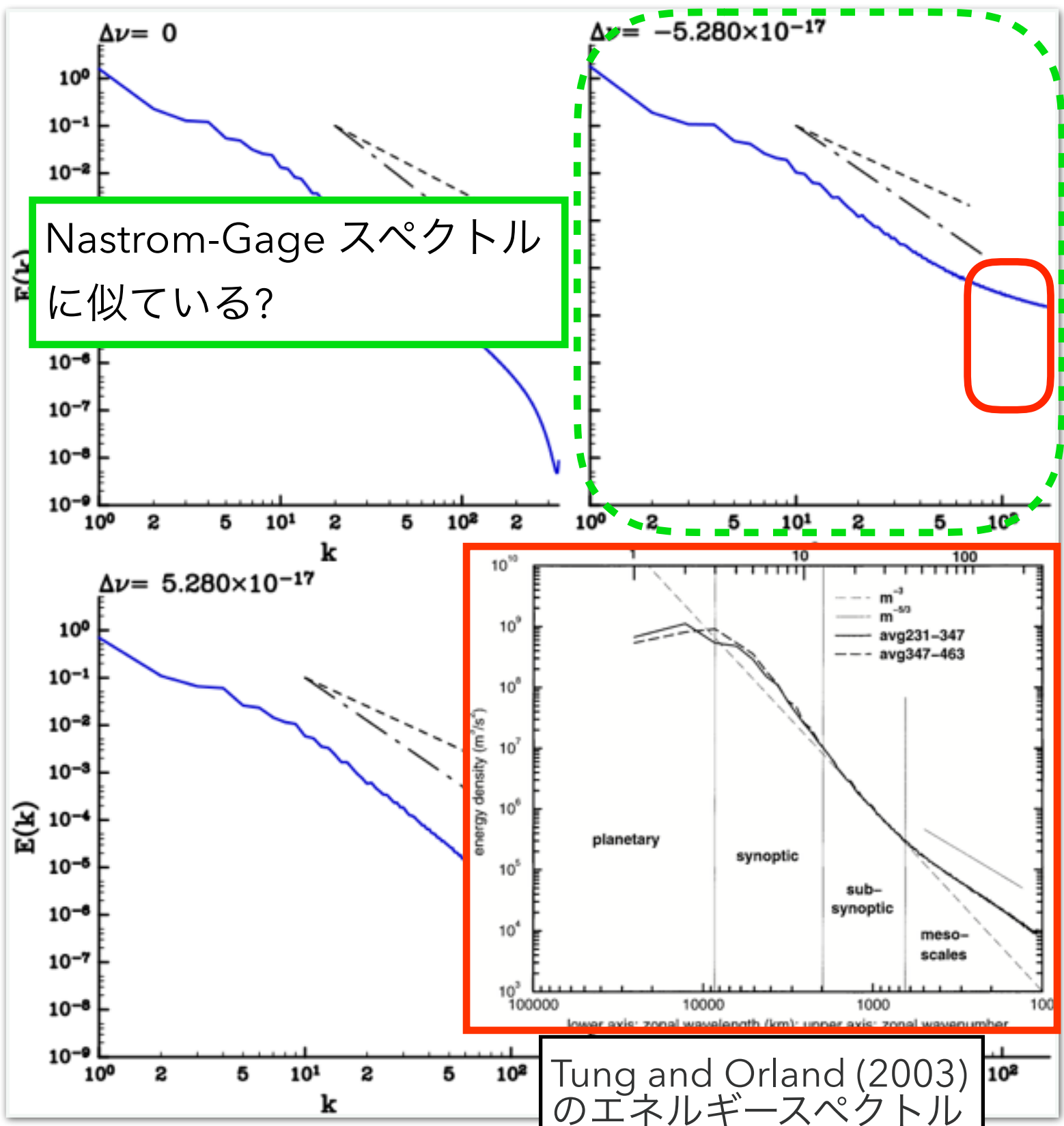
エネルギースペクトルの比較

横軸: 波数,
縦軸: エネルギー
スペクトル
点線は k^{-3} の傾き,
一点鎖線は $k^{-5/3}$ の
傾きを表す。



エネルギースペクトルの比較

横軸: 波数,
縦軸: エネルギースペクトル
点線は k^{-3} の傾き,
一点鎖線は $k^{-5/3}$ の傾きを表す。



Nastrom-Gage スペクトル
に似ている?

散逸波数が
解像できていない



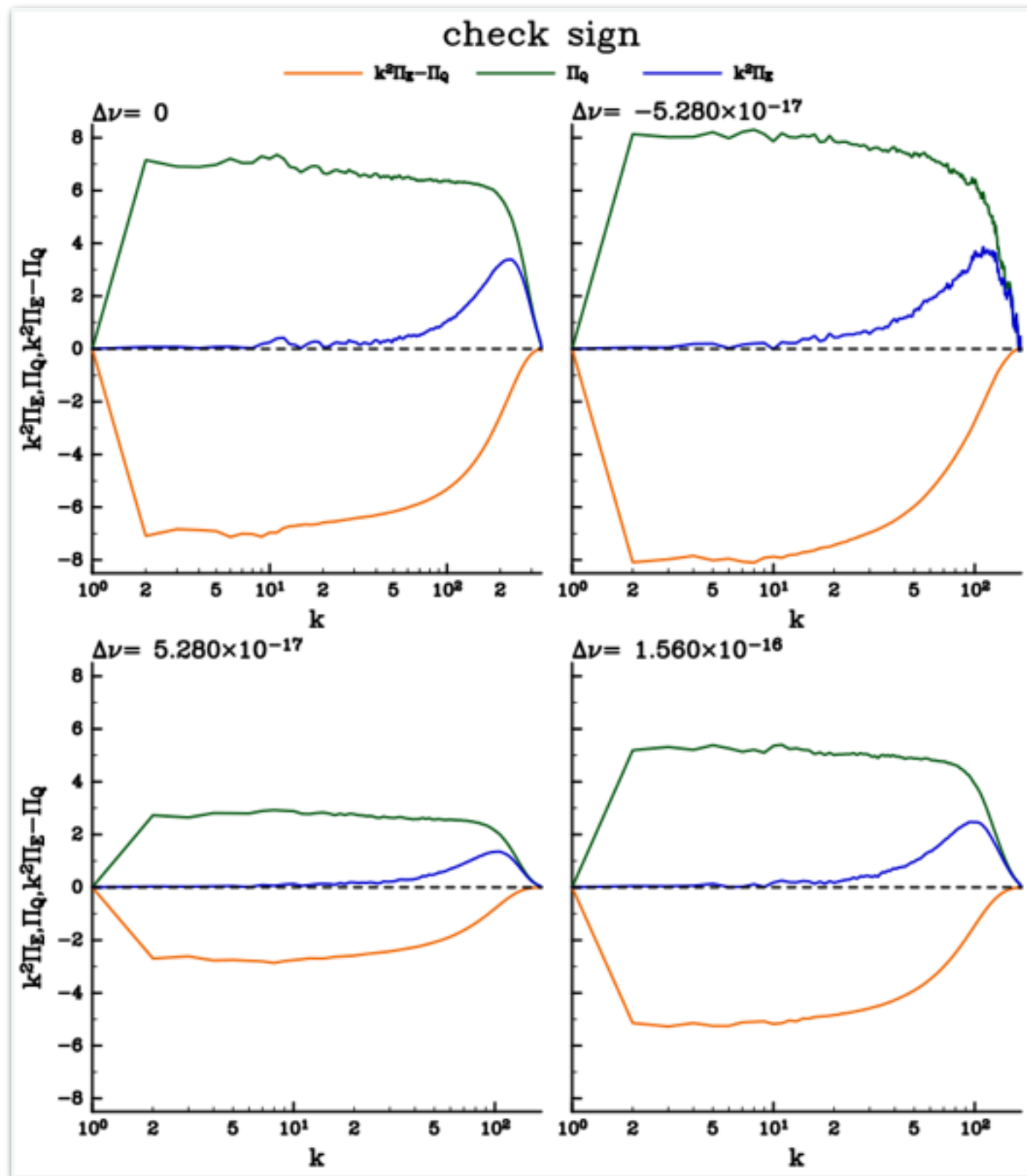
粘性係数が小さ
すぎるのが原因



Tung and
Orland (2003)
も同様のことが
起こっている?

Tung and Orland (2003)
のエネルギースペクトル

$k^2\Pi_E(k) - \Pi_Q(k)$ の符号の比較



いずれの場合も符号は
正とならなかった

1. はじめに

2. 数値モデルについて

3. 数値計算の結果

4. まとめ

まとめと結論

- ▶ Tung and Orland (2003) において述べられた, 準地衡 2 層モデルにおける Nastrom-Gage スペクトル形成のメカニズムが成り立つかを確かめた.
- ▶ 高波数領域で $k^{-5/3}$ のスペクトルは得られなかった.
- ▶ $k^2 \Pi_E(k) - \Pi_Q(k) > 0$ となる波数領域は存在しなかった.
- ▶ 本研究の数値実験では, Tung and Orland (2003) で提唱されたメカニズムは成立しなかった.